

UNIVERSIDADE DE SÃO PAULO

Instituto de Ciências Matemáticas e de Computação

Verificação formal de contratos inteligentes na Ethereum

Gustavo Oliveira Dias

Qualificação de Mestrado do Programa de Pós-Graduação em Ciências de Computação e Matemática Computacional (PPG-CCMC)

SERVIÇO DE PÓS-GRADUAÇÃO DO ICMC-USP

Data de Depósito:

Assinatura: _____

Gustavo Oliveira Dias

Verificação formal de contratos inteligentes na Ethereum

Monografia apresentada ao Instituto de Ciências Matemáticas e de Computação – ICMC-USP, para o Exame de Qualificação, como parte dos requisitos para obtenção do título de Mestre em Ciências – Ciências de Computação e Matemática Computacional.

Área de Concentração: Ciências de Computação e Matemática Computacional

Orientador: Prof. Dr. Adenilso da Silva Simão

USP – São Carlos
Março de 2021

Gustavo Oliveira Dias

Formal verification of Ethereum smart contracts

Monograph submitted to the Instituto de Ciências Matemáticas e de Computação – ICMC-USP – as part of the qualifying exam requisites of the Computer and Mathematical Sciences Graduate Program, for the degree of Master in Science.

Concentration Area: Computer Science and Computational Mathematics

Advisor: Prof. Dr. Adenilso da Silva Simão

USP – São Carlos
March 2021

RESUMO

DIAS, O. D. **Verificação formal de contratos inteligentes na Ethereum**. 2021. 78 p. Monografia (Mestrado em Ciências – Ciências de Computação e Matemática Computacional) – Instituto de Ciências Matemáticas e de Computação, Universidade de São Paulo, São Carlos – SP, 2021.

A tecnologia blockchain, promovida pela criptomoeda Bitcoin, ficou conhecida pela sua capacidade de realizar o gerenciamento de posse descentralizado de criptomoedas por meio de um livro-razão distribuído. Com a introdução da Ethereum, foi possível a implantação de contratos inteligentes, que são programas de computador que expressam cláusulas, condições e acordos estabelecidos entre as partes envolvidas. Uma vez implementados, os contratos inteligentes executam de forma autônoma e descentralizada por meio da Máquina Virtual Ethereum, sem a necessidade de intermediação. Por meio dos contratos inteligentes expandiram-se as áreas de aplicação da blockchain, que passaram a abranger também aplicações descentralizadas, Organizações Autônomas Descentralizadas, governança, finanças, cuidados médicos, entre outras áreas. Solidity é a linguagem de programação desenvolvida para construção de contratos inteligentes para execução na Ethereum. Contudo, vulnerabilidades encontradas no código dos contratos ocasionaram diversas perdas financeiras. Devido à imutabilidade da blockchain, uma vez implantado, o contrato não pode ser alterado, o que aumentou a preocupação com o desenvolvimento de contratos livres de erros. Este trabalho tem como objetivo propor uma abordagem para verificação formal de contratos inteligentes. Para isso, as seguintes etapas devem ser concretizadas: (i) escolher quais vulnerabilidades serão atacadas; (ii) selecionar o tipo de abordagem relacionada à verificação formal que será utilizada; (iii) Realizar uma análise acerca da viabilidade da abordagem escolhida; (iv) definir as estratégias de implementação e experimentação para avaliação da proposta.

Palavras-chave: Blockchain, Livro-razão distribuído, Contrato inteligente, Verificação formal, Vulnerabilidades.

ABSTRACT

DIAS, O. D. **Formal verification of Ethereum smart contracts**. 2021. 78 p. Monografia (Mestrado em Ciências – Ciências de Computação e Matemática Computacional) – Instituto de Ciências Matemáticas e de Computação, Universidade de São Paulo, São Carlos – SP, 2021.

Blockchain technology, pioneered by Bitcoin cryptocurrency, became known for its ability to perform decentralized ownership management of cryptocurrencies through a Distributed Ledger Technology. By the release of Ethereum, it was possible to implement smart contracts, which are computer programs that express clauses, conditions and agreements established among the involved parties. Once implemented, smart contracts execute in an autonomous and decentralized way through the Ethereum Virtual Machine, without the need for intermediation. Through smart contracts, the application areas of blockchain were expanded, which covers decentralized applications, Autonomous Decentralized Organizations, governance, finance, healthcare, among other areas. Solidity is the programming language developed for building smart contracts for execution at Ethereum. However, vulnerabilities found in the contract code caused several financial losses. Due to blockchain immutability, once deployed the contract cannot be changed, which increases the concern with the development of error-free contracts. This work aims to propose an approach for formal verification of smart contracts. To achieve this, the following steps must be performed: (i) choose which vulnerabilities will be attacked; (ii) select the type of approach related to formal verification that will be used; (iii) carry out a feasibility analysis of the chosen approach; (iv) define the implementation and experimentation strategies for the proposal evaluation.

Keywords: Blockchain, Distributed Ledger Technology, Smart contract, Formal verification, Vulnerabilities.

SUMÁRIO

1	INTRODUÇÃO	11
1.1	Motivação	12
1.2	Objetivos gerais e específicos	13
1.3	Organização do trabalho	14
2	FUNDAMENTAÇÃO TEÓRICA	15
2.1	A tecnologia Blockchain	15
2.1.1	<i>Estrutura e funcionamento da blockchain</i>	16
2.1.2	<i>Processo de validação na Blockchain</i>	18
2.1.3	<i>Escolha do histórico de transações</i>	20
2.1.4	<i>Criptografia e autorização de transações</i>	21
2.2	Blockchain Ethereum	23
2.2.1	<i>Contas Ethereum</i>	25
2.2.2	<i>Transações e mensagens</i>	26
2.2.3	<i>Função de transição de estados</i>	27
2.2.4	<i>Blocos</i>	28
2.2.5	<i>Validação</i>	29
2.2.6	<i>Aplicações</i>	30
2.2.6.1	<i>Sistemas de tokens</i>	31
2.2.6.2	<i>Organizações Autônomas Descentralizadas</i>	33
2.2.6.3	<i>Cuidados médicos e serviços de saúde</i>	33
2.2.7	<i>Arquitetura em camadas</i>	34
2.3	Contratos inteligentes	35
2.3.1	<i>Vulnerabilidades e ataques</i>	38
2.4	Verificação e validação	40
3	METODOLOGIA E TÉCNICAS DE PESQUISA	43
3.1	Mapeamento Sistemático	43
3.1.1	<i>Planejamento e condução</i>	44
3.1.2	<i>Resultados</i>	50
3.1.3	<i>Discussão</i>	59
3.2	Seleção dos fundamentos da proposta	61
4	CRONOGRAMA DE ATIVIDADES	63

REFERÊNCIAS	65
-----------------------	----

INTRODUÇÃO

Blockchain é o nome dado à tecnologia subjacente utilizada em diversas plataformas de gerenciamento descentralizado de posse de bens digitais baseada em livro-razão distribuído (do inglês, *Distributed Ledger Technology* (DLT)) (KANNENGIESSER *et al.*, 2020). Essa tecnologia tem como principais características o armazenamento descentralizado e distribuído, a imutabilidade, a transparência e a dispensa da necessidade de confiança em uma terceira parte (FAN *et al.*, 2020; Dinh *et al.*, 2018). O primeiro caso de êxito na aplicação da blockchain foi proposto por Nakamoto (2008), que apresentou a Bitcoin, uma criptomoeda gerada e gerenciada de forma distribuída e sem entidades centralizadoras (ZHANG; XUE; LIU, 2019). A geração e o gerenciamento de posse de unidades de Bitcoin são realizados por uma rede de nós conectados auto-gerenciáveis que trabalham para manter a integridade do sistema (Dinh *et al.*, 2018).

A geração e gerenciamento de posse de criptomoedas é uma dentre diversas aplicações baseadas na DLT, ou seja, é apenas um fim para um meio (DRESCHER, 2017). Desde o seu surgimento, a blockchain tem passado por diversas transformações, o que possibilitou sua aplicação em diversas áreas do conhecimento, como finanças, governo, Internet das Coisas (do inglês, Internet of Things (IoT)), inteligência artificial, saúde, entre outras (SWAN, 2015; MAESA; MORI, 2020; ZHU *et al.*, 2019; Salah *et al.*, 2019; AGUIAR *et al.*, 2020).

Um fator crucial para impulsionar o avanço das DLTs foi a introdução dos contratos inteligentes (CI) (MAESA; MORI, 2020). A plataforma baseada em DLT, Ethereum, proposta por Buterin (2014), possibilitou a execução de CIs de forma descentralizada em uma rede ponto-a-ponto (do inglês, *peer-to-peer* (P2P)). Um contrato inteligente consiste em um conjunto de cláusulas e condições, que são definidas entre as partes envolvidas e expressas por meio de uma linguagem de programação (ZHENG *et al.*, 2020). Depois de escrito, o contrato é implantado em uma blockchain e executado de forma autônoma, automática, e imutável (ZHENG *et al.*, 2020; KANNENGIESSER *et al.*, 2020).

Aplicações que executam sobre a plataforma Ethereum geralmente envolvem movimenta-

ções de grandes quantias de sua criptomoeda nativa, o Ether. Assim, essas aplicações tornaram-se alvos de diversos ataques que causaram transtornos e graves perdas financeiras (ATZEI; BARTOLETTI; CIMOLI, 2017; CHEN *et al.*, 2020a). Um dos ataques mais conhecidos aconteceu em 2016 contra o The DAO (sigla para *Decentralized Autonomous Organization*), um projeto de *crowdfunding* que arrecadou cerca de 150 milhões de dólares (CHEN *et al.*, 2020a). Neste ataque, um contrato malicioso explorou uma falha no código e transferiu cerca de 3,6 milhões de Ether para sua conta, o equivalente a 50 milhões de dólares (CHEN *et al.*, 2020a; SIEGEL, 2020; ATZEI; BARTOLETTI; CIMOLI, 2017).

Grande parte dos ataques deve-se à exploração de vulnerabilidades encontradas nos CIs (CHEN *et al.*, 2020a; ATZEI; BARTOLETTI; CIMOLI, 2017; LIU; LIU, 2019). Devido à imutabilidade da blockchain, uma vez implantados, os CIs não podem ser alterados, e, portanto, não há como corrigir erros e vulnerabilidades contidos no código, o que ressalta a necessidade de identificá-los na fase de pré-implantação (VACCA *et al.*, 2020; DIKA; NOWOSTAWSKI, 2018). Os CIs são geralmente escritos em Solidity¹, uma linguagem de programação de alto nível, Turing-completa, e desenvolvida especialmente para escrever CIs para a plataforma Ethereum (VARELA-VACA; QUINTERO, 2021). Segundo Atzei, Bartoletti e Cimoli (2017) parte desses erros são ocasionados pelo desalinhamento que há entre a semântica da linguagem Solidity e a intuição dos desenvolvedores.

1.1 Motivação

Motivadas pela existência de riscos à segurança das aplicações baseadas em CIs, diversas estratégias foram utilizadas no intuito de mitigar os riscos envolvidos, como exposto nos trabalhos de Liu e Liu (2019), Chen *et al.* (2020a), Sayeed, Marco-Gisbert e Caira (2020) e Singh *et al.* (2020). Segundo Dika e Nowostawski (2018), a forma mais efetiva para identificação de vulnerabilidades antes da implementação dos CIs é por meio da contratação de serviços de auditoria. Porém, tais serviços podem ser muito custosos para pequenas empresas e desenvolvedores individuais (DIKA; NOWOSTAWSKI, 2018). No estudo de Chen *et al.* (2020a), ressalta-se que as duas melhores formas de prevenir-se de vulnerabilidades consistem na escrita de contratos livres de erros por meio de boas práticas de programação, e, em seguida, na utilização de analisadores ou verificadores de código.

Na pesquisa de Almakhour *et al.* (2020), as abordagens para verificação de CIs são separadas em dois aspectos: (i) verificação formal para correção; (ii) e detecção de vulnerabilidades para garantia de segurança. A verificação formal para correção consiste na representação formal do programa por meio de métodos matemáticos, denominado o processo de modelagem do programa. Uma vez modelado, propriedades que representam a ocorrência de vulnerabilidades ou de erros lógicos são definidas, e então um processo de verificação é executado em busca de

¹ Solidity documentation. <<https://docs.soliditylang.org/en/develop/index.html>>

violações das propriedades (ALMAKHOUR *et al.*, 2020; SINGH *et al.*, 2020). A detecção de vulnerabilidades para garantia de segurança baseia-se na definição de padrões de vulnerabilidades conhecidas para que, por meio de ferramentas, se execute uma análise sobre o código para então detectá-las (ALMAKHOUR *et al.*, 2020).

Tanto a garantia de segurança de CIs quanto a própria tecnologia blockchain representam áreas de pesquisa relativamente novas e emergentes (CHEN *et al.*, 2020a; KANNENGIESSER *et al.*, 2020). Portanto, ainda não há uma abordagem ou ferramenta padronizadas para garantia de segurança dos CIs. Além disso, também há limitações nas abordagens existentes. As técnicas de verificação formal costumam exigir conhecimento especializado para modelagem matemática dos contratos, além de limitações de tempo e memória (CHEN *et al.*, 2020a). Já as ferramentas para análise de código apresentam taxas consideráveis de falsos positivos e falsos negativos, e mostraram-se ineficientes para contratos complexos (KIM; LEE, 2020).

Este trabalho é motivado pelos problemas relacionados a exploração de vulnerabilidades em CIs escritos em Solidity na blockchain Ethereum, assim como pelas limitações presentes nas abordagens existentes para mitigação destes problemas. Esta pesquisa tem o propósito de explorar este tema, tendo como base a seguinte questão de pesquisa:

“Como detectar vulnerabilidades em contratos inteligentes escritos na linguagem Solidity na fase de pré-implementação?”

1.2 Objetivos gerais e específicos

Guiado pela questão de pesquisa, este trabalho tem como objetivo propor uma abordagem para verificação formal de CIs escritos na linguagem Solidity por meio das técnicas de *model checking* e análise de código. Para complementar esse objetivo principal, há os seguintes objetivos específicos:

- Escolher o método adequado para modelagem dos contratos e para representação das vulnerabilidades;
- Definir as vulnerabilidades que devem ser detectadas;
- Determinar a técnica de análise de código utilizada para complementar o processo de verificação;
- Implementar o método de verificação;
- Definir as estratégias para validação da proposta: a abordagem desenvolvida deve ser aplicada em um experimento contendo contratos selecionados aleatoriamente e outro contendo contratos vulneráveis previamente selecionados. Os resultados da verificação do conjunto de contratos vulneráveis devem ser verificados manualmente para checagem de ocorrência de falsos positivos e falsos negativos.

1.3 Organização do trabalho

Este documento foi organizado da seguinte forma. No Capítulo 2 é apresentado o referencial teórico e os conceitos empregados neste trabalho. O Capítulo 3.2 expõe como a pesquisa foi conduzida e quais foram os métodos aplicados para levantar os trabalhos e responder às questões de pesquisa. O Capítulo ?? retrata os trabalhos da literatura cujos os temas estão associados à abordagem desta pesquisa. O Capítulo ?? retrata os detalhes da abordagem proposta.

FUNDAMENTAÇÃO TEÓRICA

Este capítulo apresenta os principais conceitos relacionados com a tecnologia blockchain e a forma como cada um deles contribui para a manutenção de suas propriedades. Apesar de existirem diversas variações entre as blockchains, este capítulo tem como foco as plataformas Bitcoin e Ethereum, a primeira por ter sido a pioneira da tecnologia blockchain e a mais conhecida até os dias atuais, e a última por estar diretamente relacionada com este trabalho. Além de expor os aspectos estruturais e funcionais da Ethereum, este capítulo também descreve sobre contratos inteligentes, vulnerabilidades existentes, e estratégias para mitigação dessas vulnerabilidades, fornecendo um conjunto de conceitos e informações necessárias para o entendimento da proposta deste trabalho.

Na Seção 2.1 são introduzidos os fundamentos da tecnologia blockchain. Na Seção 2.2 são abordados os conceitos e as particularidades inerentes à blockchain Ethereum. Na Seção 2.3 é discutido sobre o ciclo de execução dos contratos inteligentes, vulnerabilidades presentes em contratos inteligentes, e ataques ocorridos que exploraram essas vulnerabilidades. Enfim, algumas estratégias para verificação e detecção de vulnerabilidades são expostas Seção ??.

2.1 A tecnologia Blockchain

Com a ascensão das criptomoedas, a DTL tem ganhado visibilidade nos últimos anos. As DTLs são conhecidas também como blockchain, e provêm uma arquitetura descentralizada, que não necessita de confiança em uma entidade central (e.g., o banco central) para gerenciamento das transações, isto é, evita que uma terceira parte acesse as informações dos usuários (Monrat; Schelén; Andersson, 2019). Assim, essa tecnologia, juntamente com a implantação dos CIs, pode potencializar soluções em diversas áreas além da financeira (SWAN, 2015).

A primeira arquitetura blockchain, apresentada por Nakamoto (2008), surgiu com a criptomoeda Bitcoin, que permite aos usuários a realização de transações financeiras de forma

pseudo-anônima na internet, sem necessitar de cadastro de uma agência intermediadora. Além da Bitcoin, outras blockchains surgiram nos últimos anos, como a Ethereum, que possibilitou a implantação de CIs, que são programas de computador executados de forma automática, imutável e descentralizada (BUTERIN, 2014). Com os CIs observou-se uma expansão de novas áreas de aplicação das DTLs (MAESA; MORI, 2020). Deste modo, esta seção tem como objetivo apresentar os conceitos sobre blockchain Bitcoin e Ethereum, e expor brevemente alguns exemplos de aplicações. Os conceitos descritos a seguir, na Seção 2.1.1, abordam questões gerais sobre a blockchain, e têm como principal referência a Bitcoin. Na Seção 2.2 são tratados elementos específicos e exemplos de aplicação da blockchain Ethereum.

2.1.1 Estrutura e funcionamento da blockchain

Em empresas, utiliza-se um livro-razão para lançamento de registros contábeis para elaboração de relatórios financeiros (MARION, 1985). Na estrutura de dados de uma blockchain, este livro-razão fica disposto por meio uma cadeia de blocos interligados (i.e., uma lista encadeada) que armazenam todo o histórico de transações, como ilustrado na Figura 1. Cada participante da rede é responsável por manter uma versão atualizada do histórico de transações e preservar sua integridade (DRESCHER, 2017). Quando nova transação ocorre, informações como as contas envolvidas, a quantia transferida, a assinatura digital que autorizada a transação, e o horário da transação, são transmitidas entre todos os nós da rede. Os nós da rede, conhecidos como mineradores, coletam uma determinada quantidade de transações e as englobam em um componente chamado de bloco (DRESCHER, 2017).

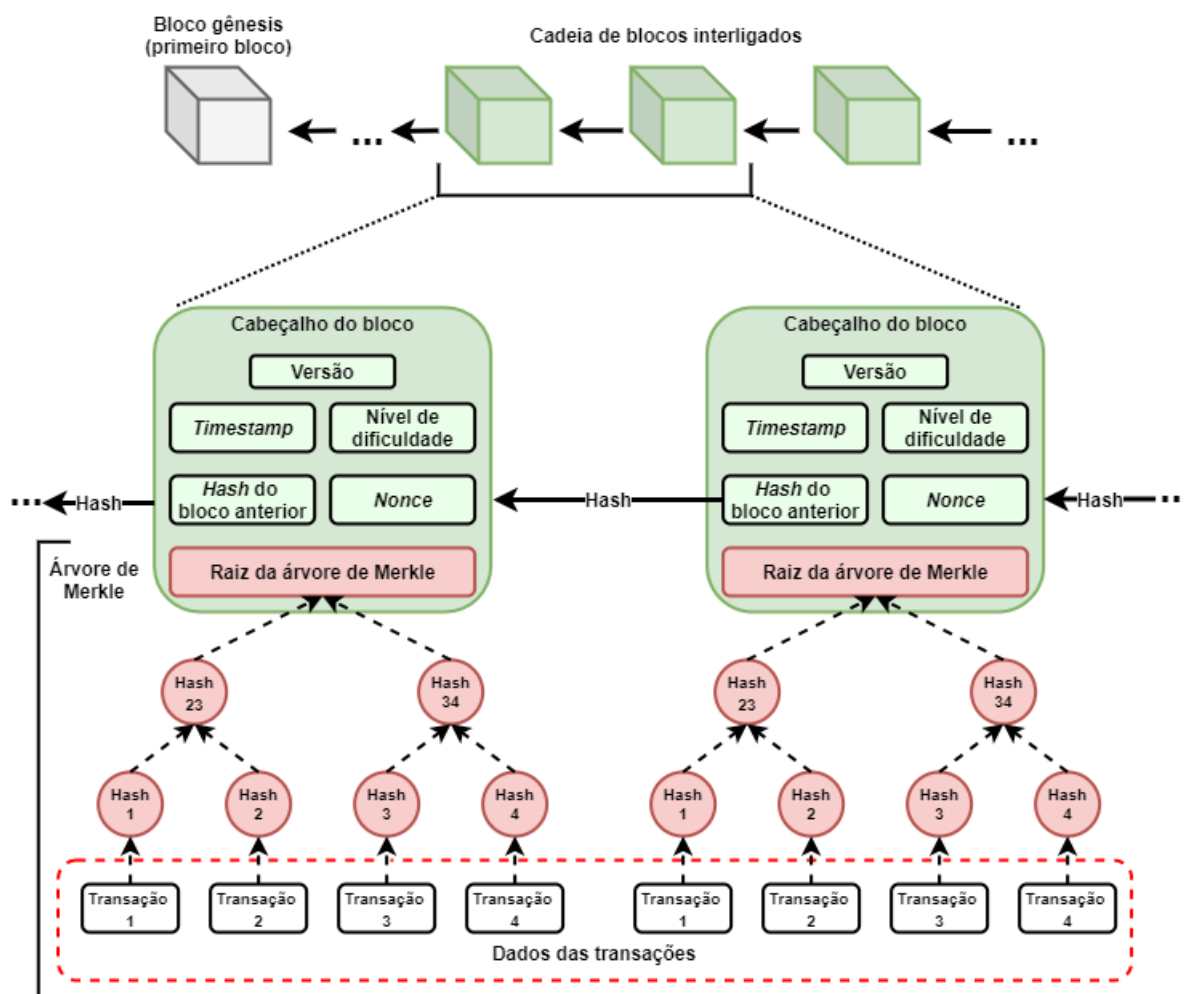
As transações englobadas em um bloco são organizadas na forma de uma árvore de Merkle. Nessa estrutura de dados do tipo árvore cada transação é alocada em um nó folha, e os demais nós armazenam referências do código *hash* gerado a partir dessas transações. Um código *hash* é gerado por meio de algum algoritmo criptográfico de geração de código *hash*, como o SHA-3 (DWORKIN, 2015) e o Keccak256 (BERTONI *et al.*, 2011). Esses algoritmos recebem e processam dados de entrada, e então geram um código formado por uma sequência de caracteres e dígitos, de forma que, para duas ou mais entradas distintas, a chance de um código *hash* igual ser gerado é extremamente baixa. Outro ponto importante é que, apenas com a posse de um código gerado, não há como se obter os dados de entrada do qual o código se originou.

Na Figura 1 é ilustrada a estrutura da blockchain como um conjunto de blocos interligados em que, a partir dos blocos, as informações das transações podem ser acessadas por meio da raiz da árvore de Merkle.

Para cada bloco é criado um cabeçalho, que passa a integrar o bloco. As informações presentes no cabeçalho podem variar de acordo com a rede blockchain. Na rede Bitcoin (NAKA-MOTO, 2008), um cabeçalho é formado por cinco elementos:

- **Versão:** Número da versão do protocolo de regras de validação a ser seguido;

Figura 1 – Estrutura da blockchain



Fonte: Aguiar *et al.* (2020), Dinh *et al.* (2018).

- **Hash do bloco anterior:** Obtido a partir dos dados do cabeçalho do último bloco presente na blockchain no momento da construção do próximo bloco;
- **Raiz da árvore de Merkle:** Em um bloco, apenas a raiz da árvore de Merkle é armazenada.
- **Timestamp:** Horário atual referente ao momento em que o bloco está sendo criado. Esta informação é essencial para manter a ordenação dos blocos no histórico de transações mantido por cada nó da rede;
- **Nível de dificuldade:** Número que indica o nível de dificuldade do quebra-cabeça computacional que deve ser resolvido pelos mineradores na disputa pela criação do próximo bloco. Este item influencia diretamente no tempo e esforço computacional necessário para a criação de um bloco;
- **nonce:** Quando o *nonce* é incorporado ao cabeçalho do bloco, o código *hash* obtido a partir do cabeçalho deve ser iniciado por uma quantidade predefinida de zeros, que é indicada pelo nível de dificuldade.

Ao se criar um bloco, o minerador forma primeiro um bloco preliminar contendo os dados dos itens 1 ao 5. Para se obter o *nonce* é necessário realizar uma quantidade massiva de tentativas com o intuito de encontrar a sequência de caracteres e dígitos que satisfaça o nível de dificuldade predefinido. Essa tarefa é conhecida como mineração, e gera uma disputa entre os nós da rede pela criação do próximo bloco. Nessa disputa, aqueles que possuem computadores mais robustos e com maior capacidade de processamento têm maiores chances de ganhar. A descoberta do *nonce* também é referida neste trabalho como um quebra-cabeça computacional ou quebra-cabeça de *hash* (DRESCHER, 2017; SWAN, 2015).

Assim que o *nonce* é adicionado ao bloco, este é então transmitido pela rede para que todos os nós possam acessá-lo e participar do processo de validação do bloco. Caso o bloco seja aceito no processo de validação, então cada nó adiciona o bloco válido à própria cópia da estrutura de dados blockchain e o minerador é recompensado pelo esforço empreendido (NAKAMOTO, 2008).

Como o *hash* gerado nas ramificações da árvore de Merkle depende diretamente do conteúdo das transações, qualquer alteração em uma transação invalida as referências de *hash* dos nós da ramificação da qual a transação pertence, inclusive o nó raiz. Com uma modificação no valor de *hash* da árvore de Merkle, o valor de *hash* do bloco também é alterado. Assim, alterar o valor de *hash* do bloco invalida a referência de *hash* que aponta para o cabeçalho do bloco modificado, invalidando, assim, toda a estrutura de dados (ANTONPOULOS, 2014).

Desta forma, tentar fraudar dados de transação manipulados envolve uma série de operações custosas. Primeiro deve-se reescrever a árvore de Merkle à qual a transação manipulada pertence. Após isso, é necessário reescrever o cabeçalho do bloco a qual a raiz da árvore de Merkle reescrita pertence, o que requer a solução do quebra-cabeça de *hash* para obtenção de um novo *nonce*. Consequentemente, todos os cabeçalhos até o final da estrutura de dados da blockchain precisam ser reescritos, o que inclui encontrar o *nonce* de cada um. Este processo é propositalmente complexo e se faz necessário para manter os dados consistentes e íntegros. Isso atribui à tecnologia blockchain a propriedade de imutabilidade (ANTONPOULOS, 2014; DRESCHER, 2017).

2.1.2 Processo de validação na Blockchain

Um fator fundamental no êxito da Blockchain foi sua capacidade de garantir integridade e confiança em um ambiente de sistemas ponto a ponto puramente distribuídos, onde há um número ilimitado de nós conectados sem nenhum nível de confiança pré-estabelecidos entre estes (DRESCHER, 2017). Em uma rede de blocos com informações que podem ser produzidas por qualquer nó conectado, há o risco iminente de inserção de informações falsas e maliciosas. Para garantir a confiança de que os blocos na blockchain são legítimos, é necessário verificar a validade de um novo bloco antes deste ser inserido na rede. Para incentivar os nós a manterem a integridade das transações, são definidos mecanismos de incentivo, assim como formas de

punição para os nós que tentam inserir ou validar transações maliciosas. Em uma blockchain, as regras que regem esse protocolo são definidas por um algoritmo de consenso (Sankar; Sindhu; Sethumadhavan, 2017; ZHANG; LEE, 2020; BOURAGA, 2021).

Neste trabalho, o termo “protocolo de consenso” é usado para se referir de forma generalizada ao processo de tomada de decisão coletiva entre os nós para validação de novos blocos, um procedimento pertinente em qualquer rede blockchain. Contudo, em cada rede blockchain, esse protocolo pode ser composto por regras distintas. Cada conjunto específico de regras para estabelecimento de um protocolo de consenso é referido neste trabalho como um algoritmo de consenso, que pode apresentar diversas variações.

Um algoritmo de consenso é elaborado com o objetivo de garantir que todos os nós da rede concordem com o histórico das transações que compõem os blocos da rede, que será comum a todos, formando assim a rede blockchain (Xiao *et al.*, 2020). Desta forma, os nós são estimulados a participar do processo de validação. Além de proporcionar um ambiente participativo para criação e validação dos blocos, os algoritmos de consenso propõem formas de recompensar os nós honestos, isto é, aqueles que trabalham para manter a integridade da rede e não agem de forma maliciosa (Sankar; Sindhu; Sethumadhavan, 2017).

Cada blockchain pode utilizar uma variação de diferentes algoritmos de consenso. Dentre os principais algoritmos de consenso estão o *Proof-of-Work* (PoW), *Proof-of-Stake* (PoS) e *Practical Byzantine Fault Tolerance* (PBFT). Os próximos parágrafos descrevem os fundamentos desses protocolos de consenso.

O protocolo **PoW** tem entre seus principais mecanismos a competição entre os mineradores para resolução de um quebra-cabeça criptográfico para definir ou *nounce* do bloco. O nó que encontrar o *nounce* primeiro obtém o direito de validar o bloco, que é então criado, dissipado pela rede de nós para que todos os participantes possam verificar sua validade, e, por fim, adicionado à blockchain. O esforço computacional exigido para obtenção do *nounce* tem como consequência um alto consumo de energia. Para estimular a participação honesta dos nós no processo de mineração e compensar os custos financeiros envolvidos neste processo, algoritmos de PoW utilizados em blockchains como Bitcoin e Ethereum oferecem uma recompensa ao vencedor. Esta recompensa é feita por meio da obtenção da posse, por parte do minerador, de uma quantidade da moeda virtual utilizada como incentivo na rede, que pode posteriormente ser convertida em valor monetário (i.e., alguma moeda fiduciária) (NAKAMOTO, 2008; BUTERIN, 2014; DRESCHER, 2017). O alto esforço computacional e gasto energético despendido pelos mineradores agrega integridade aos blocos, pois não é vantajoso para um nó malicioso ter um alto gasto para resolução do *nounce* de um bloco com transações fraudadas e correr o risco iminente do bloco ser rejeitado no processo de validação. Por outro lado, um gasto computacional muito elevado pode restringir as condições de acesso dos usuários ao processo de mineração, além de aumentar o tempo para inclusão das transações, limitando questões práticas de implantação e uso de sistemas, como escalabilidade e performance (BOURAGA, 2021).

O algoritmo **PoS** foi proposto inicialmente por King e Nadal (2012) com o intuito de mitigar a dependência do alto consumo de energia e recursos computacionais do PoW (OAPoS; DWYER, 2014). No PoS, os nós que se candidatam para participar da criação dos blocos, chamados de validadores, investem uma quantia da criptomoeda vigente na blockchain. Esta quantia também é referida como valor de participação, e funciona como uma conta bloqueada com um saldo que representa o comprometimento do validador em manter a integridade da rede. Quanto maior o valor, maior a chance do validador ser selecionado para criar o próximo bloco. Enquanto no PoW a chance do minerador criar um bloco é proporcional ao seu poder computacional, no PoS a chance é proporcional ao valor de participação investido pelo validador (Xiao et al., 2020; Dinh et al., 2018).

Baseado no trabalho de Castro, Liskov et al. (1999), o **PBFT** é adotado na blockchain por meio de dois tipos de nós, o cliente e o servidor. O nó cliente envia um bloco aos nós servidores, e se o bloco for validado por um número suficiente de nós, então este é adicionado à blockchain. Este processo de validação das transações do PBFT consiste em cinco etapas: (i) o nó cliente envia o bloco proposto para os servidores; (ii) os servidores transmitem o bloco para outros servidores, que devem avaliar uma série de condições relacionadas à validade do bloco e chegar a um consenso sobre sua aceitação; (iii) Se o bloco for aceito, o segundo grupo de servidores envia uma mensagem aos outros nós indicando que o bloco está pronto. Assim que esta mensagem é verificada e validada por um número suficiente de nós, estes entram em fase de “entrega”; (iv) após realizar a confirmação, cada nó transmite uma mensagem para a rede para atestar sua ação; e (v) o nó servidor que enviou o bloco recebe a resposta, seja o bloco validado ou não (BOURAGA, 2021; Xiao et al., 2020; AHMED et al., 2019; ZHANG; LEE, 2020).

Em dezembro de 2020 foi iniciada a primeira fase de implantação da *Ethereum 2.0*¹, uma nova rede blockchain que utiliza o algoritmo de consenso PoS. Com isso, pretende-se aumentar a velocidade de validação das transações e integração dos blocos, expandindo a escalabilidade e otimizando a performance das aplicações.

O algoritmo PBFT é utilizado pela *Hyperledger Fabric*², uma plataforma blockchain privada desenvolvida pela Fundação Linux (ANDROULAKI et al., 2018). Assim como o PoS, o PBFT também proporciona economia de energia para validação e integração das transações. Variações do PBFT também são empregadas nas blockchains Stellar (MAZIERES, 2015) e Ripple (SCHWARTZ et al., 2014) (AHMED et al., 2019; Xiao et al., 2020; ZHANG; LEE, 2020).

2.1.3 Escolha do histórico de transações

O funcionamento da blockchain exige um ritmo de trabalho dos mineradores no qual, em algum momento, estes sempre estarão concentrados em alguma das seguintes tarefas: analisar

¹ <<https://github.com/ethereum/eth2.0-specs>>

² <<https://www.hyperledger.org/use/fabric>>

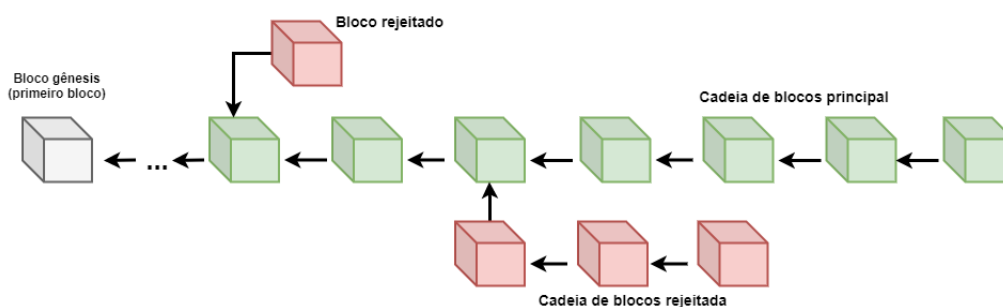
um novo bloco criado por algum nó da rede; ou se esforçar para criar o próximo bloco que, posteriormente, será analisado pelos demais nós (DRESCHER, 2017).

A capacidade de transmissão e entrega de novos blocos sofre grande influência da capacidade da entrega de mensagens de rede. Por consequência, vários nós podem terminar de construir um bloco em um pequeno intervalo de tempo. Esses blocos são transmitidos pela rede e coletados pelos nós em momentos distintos. Assim, os nós da rede não terão informações idênticas à sua disposição ao mesmo tempo (DRESCHER, 2017).

Quando um nó coleta um sua caixa de entrada mais de um bloco com o mesmo valor de referência do *hash* do bloco anterior, então uma ramificação, referida também como um *fork*, é criada, já que esses blocos possuem o mesmo bloco pai. Essas ramificações podem formar uma cadeia com diversos blocos. Dessa forma, a estrutura de dados da blockchain pode ser vista como uma árvore, porém, quando ocorre um *fork*, os nós da rede devem escolher apenas uma ramificação para compor a cadeia de blocos principal. Na Bitcoin é definido que, sempre que ocorrer um *fork*, deve-se escolher a cadeia mais longa, ou, em caso de empate, mantém-se aquela que foi recebida primeiro. (DRESCHER, 2017; SOMPOLINSKY; ZOHAR, 2015).

Em situações de decisão como essa, o protocolo da Bitcoin estabelece que a ramificação escolhida pela maioria dos nós é considerada como parte da cadeia de blocos principal, como ilustrado na Figura 2. Este procedimento é estabelecido pelo protocolo de consenso da blockchain e visa manter a integridade da blockchain por meio do consenso alcançado entre os nós participantes. Porém, deve-se considerar a premissa de que sempre haverá mais de 50% de participantes dispostos a agir de forma honesta (NAKAMOTO, 2008).

Figura 2 – Cadeia de blocos de uma blockchain



Fonte: Monrat, Schelén e Andersson (2019).

2.1.4 Criptografia e autorização de transações

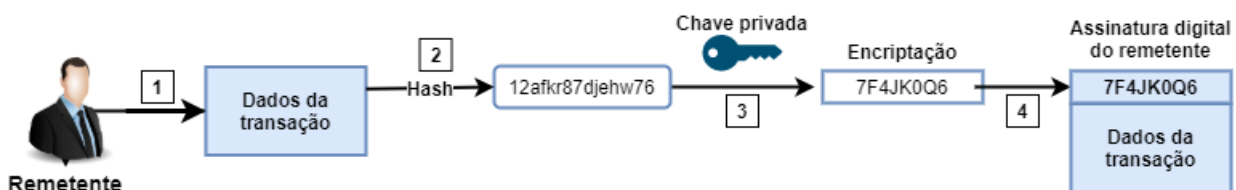
Para manter a segurança e integridade das transações, é essencial que apenas o proprietário legítimo de uma conta possa transferir o direito de propriedade ou de posse associado à sua conta (e.g., uma quantia de criptomoeda) para outra conta. Com o objetivo de garantir que somente o proprietário legítimo transfira a posse, é utilizada uma assinatura digital. Para isso, é aplicada a criptografia de curva elíptica (KOBLOITZ, 1987), na qual são utilizadas técnicas

de *hash* e criptografia assimétrica por meio do par de chaves que cada nó detém, uma chave pública e outra privada. A chave privada fica disponível apenas para seu proprietário, e é utilizada para criptografar informações, transformando-as em um texto cifrado. Por se tratar de uma criptografia assimétrica, não há como se obter a informação original a partir do texto cifrado resultante. A única forma de descriptografar esse texto e obter novamente a informação original é utilizando a chave pública correspondente, que é única para cada proprietário e representa o identificador de sua conta. A chave pública é compartilhada com todos, assim, qualquer nó pode usá-la para se certificar de que a transação foi autorizada por quem cedeu a posse (DRESCHER, 2017; AHMED *et al.*, 2019).

A assinatura é utilizada em duas situações: (i) na assinatura de uma transação; (ii) e na verificação de uma transação (AHMED *et al.*, 2019). Na Figura 3 é ilustrado um exemplo em que o proprietário da conta que cede a posse realiza a assinatura da transação por meio dos passos a seguir:

1. Descreve a transação com todas as informações necessárias, exceto a assinatura;
2. Gera o valor de *hash* dos dados de transação;
3. Utiliza sua chave privada para gerar o valor de *hash* da transação a partir do valor gerado no passo 2. Esse processo é chamado de encriptação;
4. Adiciona o texto cifrado criado no item 3 à transação como sua assinatura digital.

Figura 3 – Processo de assinatura digital de uma transação



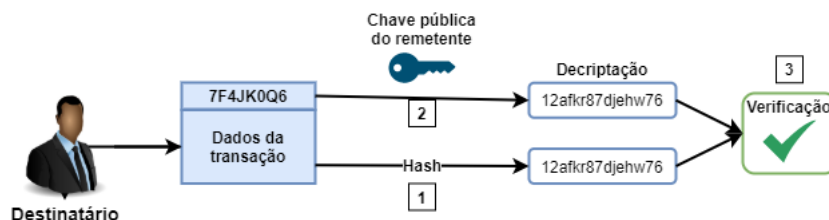
Fonte: Ahmed *et al.* (2019).

O processo de verificação de uma transação é ilustrado na Figura 4, no qual o nó verificador executa os seguintes passos:

1. Cria o valor de *hash* a partir dos dados da transação a ser verificada, com exceção da assinatura;
2. Utiliza a chave pública da conta que está cedendo a posse para descriptografar a assinatura digital da transação. Esse processo é chamado de decriptação;
3. Compara o valor do *hash* gerado no passo 1 com o valor obtido no passo 2. Se ambos forem idênticos, então indica que a transação foi autorizada pelo proprietário da chave

privada, que corresponde à chave pública que está cedendo a posse (i.e., o identificador da conta). Caso os valores não sejam idênticos, então conclui-se que o proprietário da chave privada não autorizou a transação, que é descartada.

Figura 4 – Processo de verificação da assinatura digital de uma transação



Fonte: Ahmed *et al.* (2019).

Um valor de *hash* criptográfico é único para cada transação. Analogamente, a associação entre uma chave pública e uma privada também é única. Essa característica faz com que as assinaturas digitais sejam apropriadas para servir como prova de que o proprietário da chave privada usada para criar a assinatura digital realmente concorda com o conteúdo da transação (DRESCHER, 2017).

2.2 Blockchain Ethereum

A Ethereum (BUTERIN, 2014) é uma das mais conhecidas implementações da tecnologia blockchain. Ela é definida como uma plataforma de computação distribuída composta por uma rede de computadores que operam de forma descentralizada, autônoma e democrática (WOOD *et al.*, 2014). Embora também lide com geração e gerenciamento de posse de sua criptomoeda, o Ether, essa é apenas uma parte do que a plataforma é capaz de prover.

O funcionamento da Ethereum baseia-se na implantação de contratos inteligentes, que são programas de computador que, uma vez implantados, executam automática e obrigatoriamente de acordo a lógica definida em sua programação. Por meio desses programas é possível estabelecer um acordo entre duas ou mais partes envolvidas, que se comprometem a cumprir as regras estabelecidas expressas em código (CHEN *et al.*, 2020).

Na Ethereum, as transações são disparadas por meio de mensagens, que podem conter instruções que causam a alteração na estado da blockchain (WOOD *et al.*, 2014). Isso acontece, por exemplo, quando um nó executa uma função de um contrato inteligente que altera o valor de algum atributo. Essas transações são coletadas pelos nós para formação dos blocos e são estruturadas em uma *trie*, que é uma variação da árvore de Merkle feita especialmente para uso na Ethereum, e opera de forma semelhante na garantia da imutabilidade dos dados (WOOD *et al.*, 2014).

A Ethereum foi elaborada por Buterin (2014) para ser um protocolo alternativo para criação de DApps. Na plataforma *State of The DApps*³ há mais de 3800 DApps contabilizados, sendo que destes, pouco mais de 3 mil utilizam a Ethereum. Nas DApps, geralmente o *front-end* é implementado como uma aplicação *web*, enquanto que o *back-end* é implementado por um ou mais contratos inteligentes (HEWA; YLIANTTILA; LIYANAGE, 2021). Os números envolvendo a plataforma ajudam a dimensionar o tamanho de sua popularidade. Em 2021 o valor de mercado da Ethereum superou 400 bilhões de dólares, sendo a segunda maior plataforma blockchain em valor de mercado, atrás apenas da Bitcoin, com cerca de 900 bilhões⁴. Além disso, de acordo com a plataforma Etherscan⁵, há ao menos 2 milhões de contratos inteligentes já executados.

Devido às tecnologias e técnicas que compõe a Ethereum, as aplicações que a utilizam dispõe de uma série de propriedades (BUTERIN, 2014; HEWA; YLIANTTILA; LIYANAGE, 2021), tais como:

- **Descentralização:** Eliminação da necessidade de confiança em uma terceira parte reguladora para execução da lógica do contrato;
- **Imutabilidade:** Uma vez executado, o código não pode ser alterado, assim como as transações resultantes da interação entre os contratos e os nós;
- **Persistência dos dados:** Uma vez inseridas na blockchain, as informações contidas em um bloco estarão sempre disponíveis;
- **Execução autônoma:** A execução de condições programadas e fluxo de eventos a serem realizados são disparados automaticamente conforme o sistema blockchain atinge um determinado estado, garantindo a autonomia da execução. O estado no qual uma ação é disparada é definido na programação do contrato inteligente, em comum acordo com todas as partes envolvidas;
- **Acurácia:** Assim que o contrato inteligente é executado, confia-se que as condições programadas serão cumpridas. A acurácia da execução do que foi programado é garantida por meio da transparência envolvida na execução autônoma, pois assim, vieses humanos e erros que podem acontecer em uma execução centralizada são evitados.

A seguir, na Seção 2.2.1, são abordados os tipos de contas que operam na plataforma Ethereum. Detalhes sobre as transações e mensagens usadas para a comunicação entre as contas são tratados na Seção 2.2.2. Na Seção 2.2.3 é apresentada a função de transição de estados da Ethereum. Detalhes sobre a formação dos blocos e seu processo de validação são discutidos nas

³ <<https://www.stateofthedapps.com/>>

⁴ Dados obtidos da CoinMarketCap, disponíveis em: <<https://coinmarketcap.com/>>.

⁵ <<https://etherscan.io/>>

Seções 2.2.4 e 2.2.5, respectivamente. Alguns exemplos de aplicações baseadas em contratos inteligentes que executam sobre a plataforma Ethereum são discutidos na Seção 2.2.6.

2.2.1 Contas Ethereum

Diferente do modelo de representação de estados da Bitcoin, que é baseado no estado das moedas mineiradas, na Ethereum, o estado da blockchain é definido pelo estado das contas. O estado de todas as contas define o estado da blockchain, que é atualizado sempre que um novo bloco é adicionado. As contas são necessárias para que haja interação dos usuários com a blockchain por meio das transações (ETHEREUM..., 2018). Uma conta pode ser de dois tipos: Contas de Propriedade Externa (CPE); e contas de contrato (CC).

Uma CPE é usada para armazenar os fundos do usuário em Wei, que é a menor subdenominação de um Ether, sendo um Ether equivalente a 10^{18} Wei. As CPEs são associadas e controladas por uma chave privada, e são necessárias para que um cliente possa participar da rede. As CCs são controladas pelo código de um *bytecode* executável, que é gerado na compilação de um contrato inteligente. Em uma CPE pode-se enviar mensagens para outras CPEs ou para uma CC, basta criar uma mensagem, assinar digitalmente a transação e transmiti-lá para na rede. Sempre que uma CC recebe uma mensagem seu código é ativado. Uma mensagem enviada à uma CC tem o intuito de executar alguma função em seu código. Essa função pode executar alguma operação de leitura ou escrita em seu armazenamento interno (i.e., suas variáveis), ou até mesmo criar e executar outro contrato inteligente. Embora um contrato inteligente possa ser criado por uma CPE ou uma CC, uma CPE não pode ser criada por uma conta (BUTERIN, 2014; CHEN *et al.*, 2020a).

O estado global da Ethereum é definido pelo estado de todas as contas. Internamente, o estado global é obtido por meio de um mapeamento entre os endereços das contas (identificadores de 20 bytes) e o estado de cada conta (WOOD *et al.*, 2014). Ambas as contas possuem um estado dinâmico, definido por:

- **nonce**: indica o número de transações iniciadas pelo proprietário da CPE correspondente, ou, no caso de uma CC, o número de contratos criados pela conta;
- **balance**: saldo em Wei sob posse da CPE ou da CC;
- **storageRoot**: Valor do *hash* da raiz da árvore de Patricia Merkle, a qual armazena o estado das variáveis do contrato associadas ao *bytecode* correspondente. Este atributo não é aplicável às CPEs;
- **codeHash**: Valor do *hash* do código em *bytecode* da CC correspondente. Este atributo não é aplicável às CPEs.

As operações requisitadas em uma transação são executadas por meio da MVE, que pode seguramente verificar a identidade do remetente (i.e., uma CPE), pois, assim como na Bitcoin, as transações também são assinadas por meio da técnica de curva elíptica (ETHEREUM..., 2018).

2.2.2 Transações e mensagens

Na Ethereum, uma transação se refere a um pacote de dados criptograficamente assinado que armazena uma mensagem a ser enviada por uma CPE. Essa mensagem estabelece uma interação entre uma CPE e uma CC, ou outra CPE, e especifica alguma instrução a ser executada. Há dois tipos de transações: mensagens externas enviadas por uma CPE; e mensagens internas enviadas por uma CC. Ambas as mensagens podem ser usadas para transferência de Ether, e criação e execução de contratos inteligentes (WOOD *et al.*, 2014). Os dois tipos de transações possuem os seguintes atributos:

- **nonce:** Utilizado como um contador, pois indica o número total de transações que já foram iniciadas pelo remetente. Ressalta-se que, este item não possui relação ou função semelhante ao *nonce* utilizado nos cabeçalhos dos blocos da blockchain que implementam o algoritmo de consenso *proof-of-work*, abordado na Seção 2.1.2;
- **gasPrice:** Um valor em Wei a ser pago para cada unidade de *gas* utilizada na execução da respectiva transação;
- **gasLimit:** O valor máximo em *gas* que o remetente está disposto a pagar como taxa para o minerador que vencer a disputa pela criação do bloco no qual essa transação está inclusa;
- **Destinatário (to):** O endereço do destinatário da mensagem, que pode ser uma CPE ou uma CC;
- **value:** Valor em Wei a ser transferido ao destinatário da mensagem. Em caso de criação de contrato, indica o valor a ser depositado na nova contra criada;
- **(v, r, s):** Os dados indicam a assinatura do remetente, feita por meio do Algoritmo de Assinatura Digital de Curva Elíptica (JOHNSON; MENEZES; VANSTONE, 2001).

Uma transação para criação de um contrato inteligente também possui o seguinte item:

- **init:** Especifica, por meio de um vetor de *bytes*, o *bytecode* para o procedimento de inicialização da conta.

O *init* é um fragmento do *bytecode* que é executado apenas na criação da contrato, e então é descartado. Quando executado, retorna o corpo do código da conta, que é um segundo fragmento de código que é executado sempre que a conta recebe uma mensagem, seja por meio de uma transação ou devido a uma execução interna do código (WOOD *et al.*, 2014).

Já transações com mensagens para transferência de Ether e execução de contratos possuem o seguinte atributo (WOOD *et al.*, 2014):

- **data:** Um vetor de *bytes* com dados de entrada da mensagem. Esses dados podem ser parâmetros de uma função, por exemplo.

A execução de uma transação pode resultar em um certo custo computacional. Na Ethereum esse custo é calculado em *gas*, e assim, cada tipo de operação possui um determinado custo para ser executada, que varia de acordo com a quantidade de passos computacionais envolvidos, além de um custo fixo de 5 *gas* para cada *byte* dos dados da transação (WOOD *et al.*, 2014). A utilização do *gas* como métrica é benéfica na medida que desvincula o custo computacional envolvido na execução das operações do custo do Wei, que possui valor monetário e está sujeito a variações de mercado. Assim, um cliente pode levar este último fator em consideração no momento de decidir o quanto está disposto a pagar em Wei por unidade *gas* utilizada (*gasPrice*).

O atributo *gasLimit* é essencial para evitar que estruturas de repetição consumam *gas* indefinidamente ou zerem o saldo do remetente, evitando assim maiores perdas. Contratos inteligentes são executados em uma MVE, definida por Chen *et al.* (2020) como uma máquina quase Turing-completa. O termo “quase” refere-se ao fato de que a execução é limitada à quantidade de *gas* oferecida nas transações (CHEN *et al.*, 2020).

2.2.3 Função de transição de estados

Na Ethereum, o estado global da blockchain é definido pelo estado das contas, seja uma CPE ou uma CC. Quando uma transação é executada, algum atributo de uma conta é alterado. Esse atributo pode ser o saldo em Ether após a realização de uma transferência, ou também o valor de uma variável de um contrato inteligente, por exemplo. Desta forma, ao executar uma transação (*TX*), ocorre uma transição de um estado (*S*) para outro estado (*S'*) (BUTERIN, 2014).

Ao se executar de uma função (*F*) de transição de estado $F(S, TX) \rightarrow S'$, a seguinte sequência de passos deve ser realizada:

1. Checar se a transação contém todos os atributos necessários;
2. Checar se a assinatura digital é válida;
3. Checar se o *nonce* da transação e da conta do remetente são iguais. Em caso negativo para algum dos 3 primeiros passos, uma mensagem de erro é retornada;
4. Calcular a taxa de execução da transação ($gasLimit * gasPrice$);
5. Identificar o remetente por meio da assinatura digital;

6. Subtrair a taxa do saldo da conta e incrementar o *nonce* do remetente. Caso o saldo não seja suficiente, uma mensagem de erro é retornada;
7. Definir *gas* = *startGas*, e retirar a quantidade de *gas* a ser paga pelos *bytes* da transação;
8. Transferir a quantidade de Ether especificada na transação da conta do remetente para a conta do destinatário. Se a conta do destinatário não existir, então esta deve ser criada. Se a conta do destinatário for uma CC, executar o código do contrato até que a execução esteja completa, ou até atingir o limite definido em *gasLimit*;
9. Se a transferência falhar por conta de saldo insuficiente do remetente ou por *gasLimit* atingido, todos os estados alterados são revertidos, exceto o pagamento das taxas dos mineradores, que devem receber o valor em suas contas;
10. Se a transferência for bem executada, então o remetente recebe de volta a quantia de *gas* restante, e o minerador recebe a taxas referente ao *gas* consumido.

2.2.4 Blocos

Na Ethereum, os mineradores agrupam as transações em blocos. O cabeçalho de um bloco da Ethereum contém as seguintes informações:

- ***parentHash***: Valor do *hash* do cabeçalho do último bloco pai, isto é, o antecessor do bloco atual;
- ***ommersHash***: Valor do *hash* dos cabeçalhos dos blocos cujo antecessor são iguais ao antecessor do bloco atual. Essas blocos são chamados de *ommers*;
- ***beneficiary***: O endereço do minerador deste bloco. Assim, o minerador é identificado e recebe as taxas de mineração coletadas;
- ***stateRoot***: Valor do *hash* da raiz da *trie* que contém os estados das transações, após todas serem executadas e finalizadas;
- ***transactionsRoot***: Valor do *hash* da raiz da *trie* que contém as transações que compõem o bloco;
- ***receiptsRoot***: Valor do *hash* da raiz da *trie* que contém os recibos com as informações da execução de todas as transações listadas neste bloco;
- ***logsBloom***: Contém um *Bloom filter*, uma estrutura de dados probabilística usada para testar se um dado elemento é membro de um conjunto. Neste caso, a estrutura é usada para armazenar informações dos *logs* de entrada dos destinatários de cada transação listada no bloco;

- **difficult**: Representa o nível de dificuldade para mineração do bloco. Este item é ajustado dinamicamente à cada novo bloco minerado com o objetivo de manter uma média de 15 segundos para o tempo de validação de cada bloco;
- **number**: Número de blocos antecessores a este na estrutura de dados blockchain, considerando o primeiro bloco, chamado de bloco gênese, como bloco zero;
- **gasLimit**: Limite de gastos de *gas* por bloco;
- **gasUsed**: Soma de todo *gas* utilizado pelas transações deste bloco;
- **timestamp**: O horário do início deste bloco, definido a partir do padrão *Unix*;
- **extraData**: Dados extras relacionados a este bloco;
- **mixHash**: Valor do *hash* que, quando combinado com o *nonce*, prova que um esforço computacional suficiente foi empregado para a criação deste bloco;
- **nonce**: Um valor que, quando combinado com o *mixHash* prova que um esforço computacional suficiente foi empregado para a criação deste bloco. É utilizado junto com o *mixHash* como parte do algoritmo de consenso PoW.

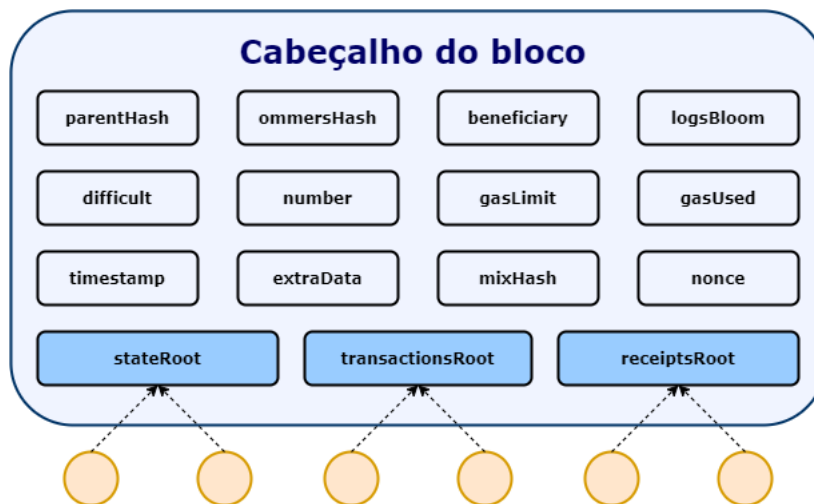
Ao se programar um contrato inteligente, pode-se definir e emissão de *logs*, que são mensagens utilizadas para rastrear quando determinados eventos acontecem durante a execução do código. Esse evento pode ser, por exemplo, uma transferência bem sucedida entre duas contas, ou a criação de um contrato. Uma entrada de *log* contém o endereço da conta responsável pelo disparo da mensagem, tópicos que representam os eventos realizados pela transação, e demais dados associados a esses eventos (SOLIDITY..., 2020). O *logsBloom* é o componente do bloco em que esses *logs* são armazenados.

A estrutura do bloco é ilustrada na Figura 5. Observa-se que são utilizadas três estruturas em árvore para armazenamento das informações resultantes da execução das transações: *stateRoot*; *transactionsRoot*; e *receiptsRoot*. Desta forma, pode-se rastrear em detalhes o processo de execução de cada transação, o que agrega à Ethereum transparência, auditabilidade e persistência dos dados.

2.2.5 Validação

Em uma blockchain, antes de um bloco ser adicionado à cadeia de blocos, este deve passar por um processo de validação por meio de um algoritmo de consenso distribuído. Este processo visa manter a integridade do histórico de transações executadas. Desta forma, cada bloco têm sua integridade verificada pelos nós da rede. Se a maioria dos nós atestarem a integridade do bloco, então este é adicionado na rede principal.

Figura 5 – Estrutura do cabeçalho de um bloco da Ethereum



Fonte: Wood *et al.* (2014).

Assim como na Bitcoin, na Ethereum os blocos também podem ser finalizados, transmitidos e recebidos em momentos distintos pelos mineradores, gerando assim um *fork* com versões distintas do histórico de transações. Na Ethereum é utilizada uma variação do protocolo GHOST (SOMPOLINSKY; ZOHAR, 2015) para selecionar como parte da rede principal a ramificação com a maior dificuldade de bloco acumulada, enquanto que as demais sub-redes continuam existindo, mas sem fazer parte da rede principal.

Para cada ramificação, pode-se calcular a dificuldade acumulada, chamada também de “o caminho mais pesado”, por meio do acesso às informações contidas no cabeçalho do último bloco adicionado. Como o cabeçalho do bloco contém a dificuldade de mineração do bloco, representada pelo campo *difficult*, basta somar recursivamente o valor da dificuldade de mineração de todos os blocos da rede, com o exceção dos bloco gênese (WOOD *et al.*, 2014).

Na plataforma Etherscan (ETHERSCAN..., 2021) são coletadas informações sobre todos os blocos e transações incluídos na blockchain Ethereum. Na Figura 6 pode-se observar que, entre outras informações do bloco, há o campo *Total Difficulty*, sublinhado em vermelho, que mostra o valor da dificuldade acumulada na blockchain até o respectivo bloco.

2.2.6 Aplicações

A tecnologia blockchain foi proposta inicialmente com o intuito de apoiar o desenvolvimento de criptomoedas como a Bitcoin. O êxito da Bitcoin chamou atenção tanto da academia quanto da indústria, e, posteriormente, outros tipos de criptomoedas e tecnologias baseadas na blockchain foram desenvolvidas. Como exposto por (SWAN, 2015) e (MAESA; MORI, 2020), esses avanços são classificados como *Blockchain 1.0*, *2.0* e *3.0*. blockchains aplicados ao gerenciamento de posse de criptomoedas integram um conjunto de aplicações classificado como *Blockchain 1.0*.

Figura 6 – Dificuldade acumulada de um bloco na Ethereum

Block #11908548	
Overview Comments	
Block Height:	11908548 < >
Timestamp:	1 min ago (Feb-22-2021 06:46:10 PM +UTC)
Transactions:	246 transactions and 33 contract internal transactions in this block
Mined by:	0x04668ec2f57cc15c381b461b9fedab5d451c8f7f (zhizhu.top) in 4 secs
Block Reward:	7.685988736381049801 Ether (2 + 5.685988736381049801)
Uncles Reward:	0
Difficulty:	5,295,702,608,355,378
Total Difficulty:	21,345,198,593,568,860,026,701
Size:	47,453 bytes

Fonte: Etherscan. . . (2021).

Com a introdução dos contratos inteligentes, impulsionados principalmente pela blockchain Ethereum, possibilitou-se a implementação dos DApps. Desta forma, viabilizou-se o uso de sistemas descentralizados projetados para automatizar aplicações financeiras baseadas em criptomoedas, como OADs e sistemas de *tokens*. Tais aplicações são baseadas na junção entre contratos inteligentes e criptomoedas, e são definidas como *Blockchain 2.0* (MAESA; MORI, 2020).

Blockchain 3.0 é o estágio evolucionário no qual a tecnologia não se limita apenas à aplicações financeiras, mas também à áreas como cuidados médicos, ciências, inteligência artificial, internet das coisas, governança descentralizada, entre outras (MAESA; MORI, 2020).

A seguir, nas Seções 2.2.6.1 e 2.2.6.2 são abordadas algumas áreas de aplicação da tecnologia blockchain, como sistemas de tokens e OADs, que integram a *Blockchain 2.0*. Na Seção 2.2.6.3 é discutido sobre o uso da blockchain para solucionar alguns problemas encontrados na área de cuidados médicos e serviços de saúde. Ao longo das Seções 2.2.6.1, 2.2.6.2 e 2.2.6.3 são citados alguns exemplos de sistemas relacionados com as aplicações tratadas. Como a plataforma Ethereum faz parte do foco e do escopo deste trabalho, são citados apenas exemplos de aplicações desenvolvidas sobre a Ethereum, apesar de existirem outras blockchains que executam aplicações semelhantes.

2.2.6.1 Sistemas de tokens

Um token é um ativo digital e programável gerenciado por um contrato inteligente para ser utilizado em um DApp ou algum projeto específico. Tokens são similares às criptomoedas,

porém, enquanto criptomoedas como bitcoin e ether possuem uma blockchain própria para sua mineração e gerenciamento de posse, os tokens são criados sobre a estrutura de uma blockchain já existente (di Angelo; Salzer, 2020).

Tokens são usados para representar o direito sobre algo, de forma que esse direito é representado como um artefato digital, um processo conhecido como tokenização. O gerenciamento de posse do token usufrui de benefícios inerentes à estrutura de uma blockchain, como imutabilidade, persistência dos dados, descentralização, anonimato e auditabilidade (di Angelo; Salzer, 2020; Monrat; Schelén; Andersson, 2019).

Quando um artefato é tokenizado, é possível fracionar seu valor para quem se interessa em obter a posse, assim como já acontece com as criptomoedas tradicionais. Desta forma, facilita-se a entrada de investidores, resultando em um aumento de liquidez dos ativos tokenizados. Além disso, O fato de um token ser programável proporciona o gerenciamento autônomo e a concordância dos direitos dos investidores. (di Angelo; Salzer, 2020).

Um exemplo de aplicação de tokens são as *stable coins*, moedas digitais cujo valor é lastreado de acordo com alguma moeda fiduciária ou fundos de investimentos já existentes. Projetos como o Tether ⁶ e USD Coin ⁷ operam com as criptomoedas USDT e USDC, que são lastreadas pela cotação do dólar. Já o Pax Gold (CASCARILLA, 2019), opera por meio do PAXG, uma versão tokenizada do ouro físico licenciado e certificado pelas agências *London Bullion Market Association* e *London Good Delivery*. Desta forma, é possível comprar frações de onças de ouro, equivalente a aproximadamente 31 gramas de ouro, sem a necessidade de adquirir cofres ou contratar serviços de armazenamento disponíveis em bancos (CASCARILLA, 2019).

Entre outros exemplos, vale citar também tokens como o WiBX ⁸, oferecido como recompensa em sistemas de compartilhamento de produtos, o Aave (AAVE...), uma criptomoeda utilizada em um sistemas de finanças descentralizadas, e o MCO2 (MOSS...), token da companhia ambiental MOSS, usado para obtenção de créditos de carbono.

A facilidade para programação e o estabelecimento de padrões para criação de tokens, como o padrão ERC-20 ⁹, foram fundamentais para o estabelecimento deste tipo de ativo, o qual abrange diversas aplicações. Na plataforma Etherscan ¹⁰ pode-se consultar uma lista de tokens, na qual, no momento da escrita deste trabalho, foram encontrados 362,745 tokens, considerando apenas aqueles escritos no padrão ERC-20.

⁶ Tether: Digital money for a digital age. <<https://tether.to/>>

⁷ USDC: the world's leading digital dollar stablecoin. <<https://www.circle.com/en/usdc>>

⁸ WiBX: Crypto jumping coin. <<https://www.wibx.io/>>

⁹ ERC-20 Token standard. <<https://ethereum.org/en/developers/docs/standards/tokens/erc-20/>>

¹⁰ Etherscan. Token Traker. <<https://etherscan.io/tokens>>

2.2.6.2 Organizações Autônomas Descentralizadas

Uma OAD é uma organização desenvolvida por meio da tecnologia blockchain que pode ser gerida de forma autônoma, sem a necessidade de confiar em uma autoridade central ou estruturas hierárquicas (Wang *et al.*, 2019). Em uma OAD, todas as regras operacionais e de gerenciamento são programadas em um contrato inteligente e gravadas em uma blockchain. Assim, protocolos de consenso e tokens são utilizados como incentivo para estimular a autonomia operacional, governamental e evolucionária das organizações. Por meio da implantação de uma OAD, espera-se abolir modelos de gerenciamento tradicionais baseados em hierarquia, além de reduzir os custos das organizações com comunicação, gerenciamento e colaboração (Wang *et al.*, 2019).

Em 2016, foi lançado o primeiro OAD, chamado de *The DAO* (sigla para *Decentralized Autonomous Organization*), o maior projeto de *crowdfunding* da época, que em pouco tempo arrecadou cerca de 150 milhões de dólares. Por meio do *The DAO*, propostas de investimento eram submetidas e os participantes compravam tokens que davam direito de participação na aprovação das propostas, assim como receber parte dos lucros gerados (Wang *et al.*, 2019).

Após o *The DAO* outras OAD surgiram, como a *Aragon*¹¹ e a *Steemit*¹². A *Aragon* é uma plataforma que oferece aos usuários uma infraestrutura para criação e gerenciamento de vários tipos de OADs. A *Steemit* é uma plataforma de mídias sociais baseada em blockchain que, por meio de um sistema de tokens, usuários são recompensados pela criação e curadoria de conteúdos.

Por se tratarem de plataformas com grande capacidade de arrecadação financeira, as OADs tornaram-se alvo de ataques (ATZEI; BARTOLETTI; CIMOLI, 2017). Em junho 2016 ocorreu o caso conhecido como *The DAO Attack*, no qual um participante malicioso explorou uma falha no contrato e transferiu cerca de 3,6 milhões de Ether para sua conta, o equivalente a 50 milhões de dólares (SIEGEL, 2020). Este caso teve grande repercussão e chamou a atenção da academia e da indústria, impulsionando estudos e estratégias para detecção e prevenção de vulnerabilidades em contratos inteligentes (CHEN *et al.*, 2020a; LIU; LIU, 2019).

2.2.6.3 Cuidados médicos e serviços de saúde

Com a ampla difusão da informatização de processos em variadas áreas, do acesso à *internet*, aliados à popularização de *smartphones* e computadores pessoais, um dos maiores problemas enfrentados diz respeito à proteção dos dados pessoais dos usuários. Entre esses dados pessoais estão as informações de serviços de saúde. O histórico médico contém dados sensíveis de pacientes, que precisam ser compartilhados com médicos, farmácias, seguradoras, e outras partes interessadas da área da saúde. Ao mesmo tempo, esses dados devem ser protegido contra acessos indevidos e manipulados corretamente pelos profissionais da área, que muitas vezes não

¹¹ Aragon: Next-level communities run on Aragon. <<https://aragon.org/>>

¹² Steemit. <<https://steemit.com/>>

têm conhecimento técnico para lidar com os dados de forma segura. Além da preocupação com a proteção dos dados, também há falta de padronização do formato desses dados, que podem enfrentar incompatibilidade no compartilhamento entre instituições médicas, profissionais da saúde, e outras partes interessadas (MAESA; MORI, 2020).

Outro problema na área da saúde diz respeito à falsificação e adulteração da composição de medicamentos. De acordo com a Organização Mundial da Saúde (OMS), em 2017, 1 em cada 10 medicamentos nos países em desenvolvimento eram falsificados ou de baixa qualidade (WHO, 2017).

Diante desses problemas, diversas soluções foram propostas utilizando como base a tecnologia blockchain, que possui potencial para transformar a área de cuidados médicos e serviços de saúde McGhin *et al.* (2019), Aguiar *et al.* (2020).

A tecnologia blockchain pode oferecer uma infraestrutura adequada para integração de dados de prontuários médicos, e outros benefícios proporcionados pela integridade e imutabilidade dos dados. Uma proposta que utiliza contratos inteligentes e a estrutura da Ethereum é o sistema MedRec (EKBLAW *et al.*, 2016), utilizado para gerenciamento de registros de prontuário eletrônicos. O MedRed permite que pacientes consultem suas informações de forma acessível e oferece uma estrutura modular que facilita a interoperabilidade com sistemas já existentes, além de gerenciar questões como autenticação, confidencialidade, contabilidade e compartilhamento de dados (EKBLAW *et al.*, 2016).

Outros exemplos de aplicações da blockchain na área da saúde são relatados nos trabalhos de McGhin *et al.* (2019) e Aguiar *et al.* (2020).

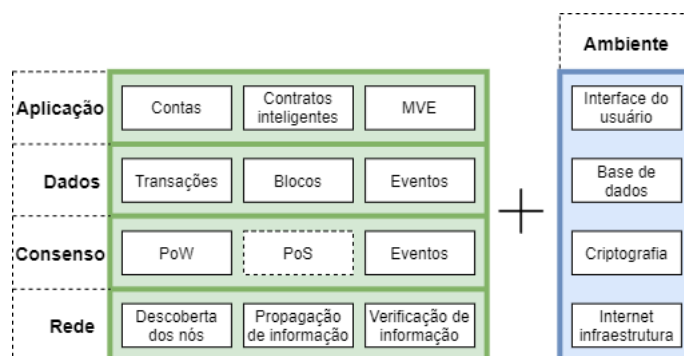
2.2.7 Arquitetura em camadas

A blockchain Ethereum foi projetada sobre uma série de conceitos, protocolos e procedimentos, que dependem de recursos computacionais e tecnológicos para funcionar. Esse conjunto de elementos compõem a arquitetura da Ethereum. Em seu trabalho, Chen *et al.* (2020a) dividem essa arquitetura em quatro camadas: aplicação; dados; consenso; e rede.

A arquitetura em camadas conta também com elementos presentes no ambiente, relacionados com recursos tecnológicos e infraestrutura, como exposto na Figura 7. Na camada de aplicação estão as contas, que podem ser CPEs ou CCs, os contratos inteligentes, e a MVE, responsável pela execução do *bytecode* gerado na compilação do contrato. A camada de dados consiste nas informações geradas ao longo da execução dos contratos, como transações e *logs* de eventos, e no armazenamento destas, que são acessadas por meio dos blocos. Os mecanismos para validação dos blocos estão incluídos na camada de consenso, no qual um algoritmo de consenso e uma política de incentivos é utilizada para motivar os mineradores a agirem de forma honesta. A camada de rede é a responsável pela comunicação entre os participantes da rede, possibilitando a descoberta de novos nós e a propagação e verificação das informações, essencial

para que cada nó possa manter seu histórico de transações atualizado (CHEN *et al.*, 2020a).

Figura 7 – Arquitetura da blockchain Ethereum e seu ambiente de execução



Fonte: Chen *et al.* (2020a).

Cada camada depende de componentes do ambiente de execução das aplicações, como uma interface *web* para interação dos usuários com as aplicações, uma base de dados para armazenamento dos dados da blockchain, mecanismos criptográficos para apoiar os protocolos de consenso, e o serviço de *Internet* que dá suporte às tarefas da camada de rede.

Na Figura 7, nota-se que, na camada de consenso, o retângulo contendo o algoritmo PoS está com o contorno pontilhado. Isto deve-se ao fato da rede Ethereum 2.0, que opera com o algoritmo de consenso PoS, estar em fase inicial de implementação. Futuramente, de acordo com o planejamento do projeto, espera-se que a Ethereum seja englobada pela Ethereum 2.0.

2.3 Contratos inteligentes

No trabalho de Szabo (1997) foi proposta pela primeira vez a ideia de um contrato inteligente cujas cláusulas são escritas em programas de computador e executadas automaticamente sem a necessidade de confiar em uma terceira parte reguladora. Anos depois, por meio da tecnologia blockchain, os contratos inteligentes puderam ser de fato implementados, impulsionados por plataformas como Ethereum, Hyperledger Fabric, Corda e Stellar (ZHENG *et al.*, 2020).

No desenvolvimento de um contrato inteligente, as cláusulas contratuais estabelecidas em comum acordo entre as partes envolvidas são expressas por meio de programas de computador executáveis. Esses programas são normalmente escritos em linguagens de programação de alto nível, como a linguagem Solidity (SOLIDITY...). Na plataforma Ethereum, independente da linguagem, os contratos inteligentes são sempre convertidos em um *bytecode*, uma linguagem de baixo nível que é executada na MVE.

Na linguagem Solidity, um contrato é similar à um objeto. Cada contrato possui atributos e funções que podem ter seus controles de acesso definidos por modificadores. O controle lógico

das condições estabelecidas pelas cláusulas podem ser definidos por meio de estruturas de controle, como *if*, *if-else*, *for*, etc.

Um exemplo de contrato escrito na linguagem Solidity é exposto na Figura 8. Neste exemplo, a conta que implementa o contrato pode atribuir algum saldo para si ou para outras contas, e esses valores atribuídos podem ser transferidos para outras contas.

Figura 8 – Contrato escrito na linguagem Solidity para atribuição e transferência de saldo

```

1  pragma solidity ^0.5.9;
2
3  contract Coin {
4      address public minter;
5      mapping (address => uint) public balances;
6
7      event Sent(address from, address to, uint amount);
8
9      constructor() public{
10         minter = msg.sender;
11     }
12
13     function mint(address receiver, uint amount) public {
14         if (msg.sender != minter) return;
15         balances[receiver] += amount;
16     }
17
18     function send(address receiver, uint amount) public {
19         if (balances[msg.sender] < amount) return;
20         balances[msg.sender] -= amount;
21         balances[receiver] += amount;
22         emit Sent(msg.sender, receiver, amount);
23     }
24 }

```

Fonte: Solidity... (2019).

Em seu trabalho, *Zheng et al.* (2020) descreveram a utilização dos contratos inteligentes como um ciclo de vida que consiste em quatro fases: criação; implantação; execução; e conclusão. Cada fase é descrita como segue:

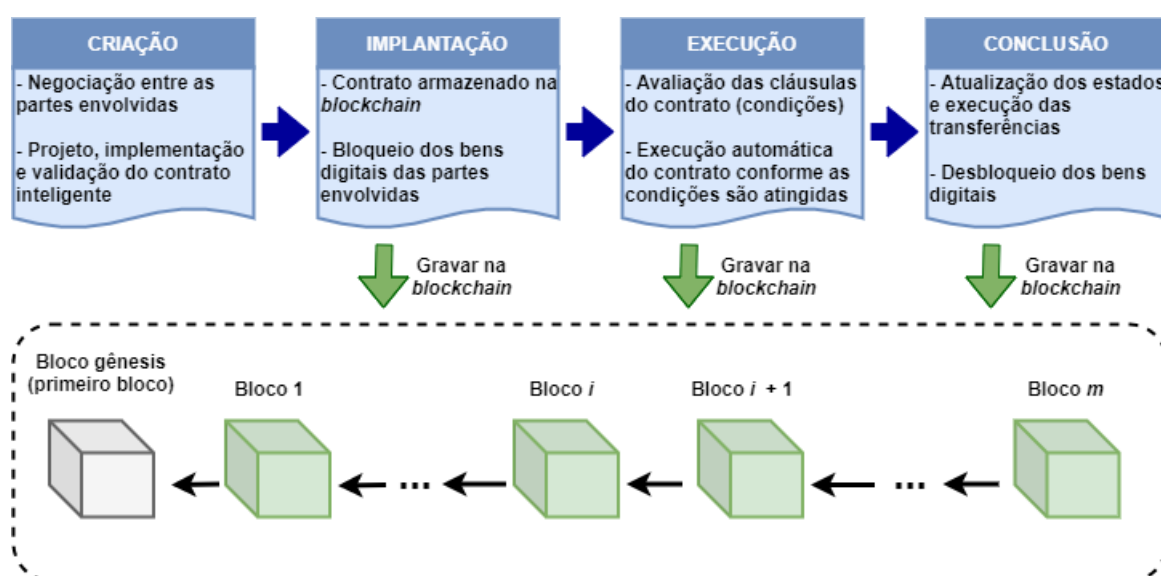
1. **Criação:** Essa primeira fase se inicia com a negociação entre as partes envolvidas para definição das obrigações, direitos e proibições que devem ser expressas no contrato. Em seguida, desenvolvedores e engenheiros de *software* descrevem esse acordo para alguma linguagem de programação para contratos inteligentes, tal processo para por etapas de projeto, implementação e validação. A criação de contratos inteligentes é um processo interativo que pode envolver a participação de vários profissionais, como investidores, advogados e engenheiros de *software*;
2. **Implantação:** Consiste em implantar o contrato compilado na blockchain. A implantação é feita por meio de plataformas como a Go Ethereum ¹³, que opera sobre a blockchain Ethereum. Uma vez implantado na blockchain o contrato inteligente não pode mais ser modificado, e todas as partes envolvidas podem acessá-lo. Vale ressaltar que, nesta etapa, as partes envolvidas podem ter uma parcela de seus bens digitais bloqueados. Esse bem digital pode ser uma quantidade de Ether dada como garantia de uma transferência, por

¹³ Go Ethereum: Official Golang implementation of the Ethereum protocol. <<https://github.com/ethereum/go-ethereum>>

exemplo. Assim, as partes envolvidas podem ser identificadas por meio de suas carteiras digitais;

3. **Execução:** Após a implantação, as cláusulas contratuais são monitoradas e avaliadas. Assim, conforme as condições estabelecidas são atingidas, operações e funções expressas no contrato são automaticamente executadas, o que gera um fluxo de transações que são executadas e validadas pelos mineradores.
4. **Conclusão:** Depois que um contrato é executado, o estado das contas das partes envolvidas é atualizado. Logo, as transições e os dados de atualização dos estados são gravados na blockchain, as transferências entre as contas são concretizadas e os bens digitais das partes envolvidas são desbloqueados. Assim, o ciclo de vida de um contrato inteligente é concluído.

Figura 9 – Ciclo de vida de um contrato inteligente baseado em 4 fases: criação, implantação, execução e conclusão



Fonte: Zheng *et al.* (2020).

O ciclo de vida dos contratos inteligentes é ilustrado na Figura 9. Nota-se que, durante as fases de implantação, execução e conclusão, uma série de transações são geradas, transmitidas, validadas e gravadas na blockchain, proporcionando a rastreabilidade e auditabilidade do contrato (ZHENG *et al.*, 2020).

Devido a imutabilidade da blockchain, um contrato implementado não pode mais ser alterado. Esta propriedade agrega integridade à tecnologia blockchain, mas também ressalta a importância da implementação de contratos livres de erros e de acordo com boas práticas, já que vulnerabilidades presentes nos contratos podem torná-los alvos de ataques.

A seguir, na Seção 2.3.1 são abordadas algumas das vulnerabilidades já encontradas em contratos inteligentes e ataques que ocorreram por meio da exploração dessas vulnerabilidades.

2.3.1 Vulnerabilidades e ataques

Aplicações desenvolvidas por meio de contratos inteligentes, como os DApps e as OADs, costumam envolver transferências e gerenciamento de grandes quantidades de bens digitais, e isso tornou-os alvo de uma série de ataques que exploraram vulnerabilidades encontradas no código desses contratos (ATZEI; BARTOLETTI; CIMOLI, 2017; LIU; LIU, 2019; CHEN *et al.*, 2020a).

Há vários fatores que tornam a implementação de contratos inteligentes propícios à erros. Segundo (ATZEI; BARTOLETTI; CIMOLI, 2017), parte desses erros são ocasionados pelo desalinhamento que há entre a semântica da linguagem Solidity e a intuição dos desenvolvedores. Apesar de alguns elementos em Solidity serem similares aos encontrados em outras linguagens, como o uso de funções, exceções e modificadores de acesso, estes não são implementados da mesma forma.

Grande parte das vulnerabilidades encontradas em CIs escritos em Solidity poderiam ter sido evitadas com a ajuda de análise formal e verificação desses contratos antes de serem implantados na blockchain. Porém, as linguagens de domínio específico encontradas no estado da arte, como Solidity, não foram desenvolvidas com o intuito de serem verificadas formalmente, o que torna o problema pior ainda, pois não é uma linguagem perfeita para escrever CIs, já que é vulnerável à certos riscos¹⁴. Consequentemente, mesmo desenvolvedores experientes estão sujeitos a deixar vulnerabilidades de segurança e bugs em seus códigos. Desta forma, desenvolvedores e organizações acabam tendo que recorrer à outras organizações, frameworks ou ferramentas para análise de código, revisões e auditorias, o que pode ser altos custos e tornar-se uma limitação para pequenas organizações e desenvolvedores autônomos (SINGH *et al.*, 2020).

Desde os primeiros casos notórios de ataques, como o ataque ao The DAO (SIEGEL, 2020), mencionado na Seção 2.2.6.2, diversos trabalhos foram desenvolvidos com o intuito de listar e classificar os ataques e as vulnerabilidades explorados em contratos inteligentes, e também relatar os esforços despendidos na mitigação dessas ameaças.

No trabalho de Chen *et al.* (2020a) são identificadas 40 vulnerabilidades relacionadas com a blockchain Ethereum. Cada vulnerabilidade encontra-se em uma das camadas da arquitetura da Ethereum, a qual é ilustrada na Figura 7. Das vulnerabilidades identificadas, 26 estão na camada de aplicação, que engloba as contas, os contratos inteligentes e a MVE. Destas, 14 estão associadas à programação dos contratos inteligentes. Em outro trabalho, desenvolvido por Atzei, Bartoletti e Cimoli (2017), são identificadas 6 vulnerabilidades em contratos escritos na linguagem Solidity, sobre as quais 6 ataques foram realizados. Algumas dessas vulnerabilidades, assim como os respectivos ataques, são descritos no decorrer desta Seção.

- No trabalho de (WANG *et al.*, 2019) as vulnerabilidades são abordadas sob a perspectiva

¹⁴ Obs: no artigo original a nota possui o link para a versão 4.24 da documentação. A seguir conta o link para a versão mais recente. <<https://docs.soliditylang.org/en/v0.8.3/security-considerations.html>>

de **ataques de intrusão**, embora sejam as mesmas abordadas em outros trabalhos. - Nos trabalhos de (WANG; ZHANG; SU, 2019) e (KOLLURI *et al.*, 2019) a execução de CIs e das transações e as vulnerabilidades decorrentes destas são analisadas sob a perspectiva de não-determinismo, isto é, a execução de uma transação possui comportamento não determinístico.

Reentrada

Essa vulnerabilidade ocorre quando o contrato de um receptor externo invoca novamente uma função do tipo *callback* de outro contrato antes que este termine de executar essa função. Quando um contrato vulnerável contém uma função *callback*, um contrato externo pode invocá-la sucessivas vezes até esgotar qualquer saldo contido no contrato (CHEN *et al.*, 2020a; SAYEED; MARCO-GISBERT; CAIRA, 2020).

A vulnerabilidade da reentrada foi observada primeiramente no *The DAO Attack*, em que um contrato externo transferiu cerca de 3,6 milhões de Ether para sua conta, o equivalente a 50 milhões de dólares (SIEGEL, 2020). Apesar dos danos terem sido revertidos, isso causou uma divisão entre os mineradores da Ethereum. A maior parte dos mineradores concordaram em reverter os danos por meio de um *hard fork*, um procedimento no qual é feita uma bifurcação na cadeia de blocos, que neste caso, foi referente ao momento anterior ao ataque. Após o *hard fork*, a cadeia de blocos principal da Ethereum continuou a partir do bloco 1920000¹⁵, enquanto que a outra cadeia foi continuada pelos mineradores que não concordaram com a decisão, e foi denominada como Ethereum Classic¹⁶.

Delegatecall Injection

Para facilitar o reuso de código, a MVE dispõe do código de operação (do inglês, *opcode*) *delegatecall*, usado para inserir o *bytecode* de um contrato no *bytecode* de outro contrato, que irá executá-lo por meio de uma chamada. Quando isso ocorre, o contrato que é chamado pode alterar as variáveis de estado do contrato que o invocou. Essa característica torna este último contrato vulnerável à ação de contratos maliciosos que, quando chamados, podem causar alterações para obter benefícios e transferir tokens para sua conta (CHEN *et al.*, 2020a).

O primeiro ataque a explorar essa vulnerabilidade ocorreu contra a *Parity Multisignature Wallet*, uma carteira multi-assinatura. Para se autorizar uma transação convencional de Ether, o remetente deve assinar a transação com sua chave privada. Na Ethereum, uma carteira multi-assinatura é um contrato inteligente que requer múltiplas chaves privadas para desbloquear uma carteira e autorizar transferências. Em 2017, uma vulnerabilidade em uma chamada *delegatecall* foi explorada, e cerca de 31 milhões de dólares em Ether foi subtraído da *Parity Multisignature Wallet* (CHEN *et al.*, 2020a).

¹⁵ *Hard Fork Completed*. <<https://blog.ethereum.org/2016/07/20/hard-fork-completed/>>

¹⁶ Ethereum Classic. <<https://ethereumclassic.org/>>

Tabela 1 – Tipos de vulnerabilidades em contratos inteligentes

Vulnerabilidades	Mecanismo
Reentrância	Chamada recursiva de uma função por meio de uma função <i>fallback</i>
<i>Integer overflow/underflow</i>	Um <i>overflow/underflow</i> pode ocorrer quando são executadas operações de adição, subtração, ou armazenamento da entradas do usuário sobre variáveis inteiras com limitações de valor
Dependência da ordem da transação	Ordem das transações inconsistente em relação ao momento da invocação
Limite da pilha de chamadas <i>Call-stack depth limit</i>	Quando é excedido o limite de chamadas ao método de um contrato
Dependência do timestamp do bloco	Ocorre quando um contrato que utiliza o <i>timestamp</i> de um bloco como parte da condição para acionar uma operação crítica (e.g. envio de ether) é explorado por um minerador malicioso
Autenticação por <i>tx.origin</i>	Ocorre quando um contrato utiliza <i>tx.origin</i> para autenticação, a qual pode ser comprometida por um ataque <i>phishing</i>
DoS com operações limitadas	Essa vulnerabilidade é resultante de programação imprópria com operações ilimitadas em um contrato
Endereços curtos	A MVE não verifica a validade de endereços
Contrato suicida (<i>self-destruct</i>)	Quando o contrato pode ser destruído por usuários não autorizados
Transferência não verificada e fracassada	Envio de ether sem checar possíveis condições
Saldo inseguro	Quando o saldo de um contrato é exposto devido a utilização indevida do modificador <i>public</i> , este pode ser roubado por um agente malicioso
Contrato guloso	Os fundos do contrato ou o saldo em ether são travados indefinidamente
Contrato pródigo	Liberar fundos ou saldo em ether para usuários arbitrários
Exceção mal tratada	Quando uma exceção é disparada em um CI por meio da chamada de outro contrato e não é tratada devidamente pelo chamador
Gasto excessivo de <i>gas</i>	Consumo de <i>gas</i> desnecessário na execução do código do contrato

Fonte: [Almakhour et al. \(2020\)](#).

2.4 Verificação e validação

—Explicar o conceito de verificação proativa, reativa, e em tempo de execução

—Separar o que é análise estática e análise dinâmica

Demonstração de teoremas

Na demonstração de teoremas o sistema é modelado matematicamente, e propriedades a serem verificadas são especificadas. Essa abordagem pode ser aplicada sobre diversos tipos de sistemas, uma vez que podem ser expressos matematicamente ([ALMAKHOUR et al., 2020](#)).

Formalismos mais comuns utilizados para modelagem e especificação de propriedades para verificação baseada em demonstração de teoremas: lógica proposicional; lógica temporal (LTL, CTL); *High-order logic* e *first-order logic* (??).

Método formal utilizado para providenciar provas/demonstrações por meio de alguma lógica simbólica utilizando inferência dedutiva. Cada passo da demonstração introduz um axioma

ou uma premissa e fornece uma afirmação, a qual consiste em uma consequência natural dos resultados previamente estabelecidos utilizando regras de inferência (SINGH *et al.*, 2020).

Model checking

Com o *model checking*, dado um modelo de estados finito de um sistema, é checado se o modelo satisfaz determinadas propriedades. Assim, por meio de uma especificação formal de propriedades, pode-se verificar se, de acordo com o modelo, o sistema age da forma esperada e se as propriedades são aceitas pelo modelo. Quando uma propriedade não é aceita, um contra-exemplo é fornecido. O *model-checking* é um processo que consiste em três etapas: modelagem; especificação (das propriedades); e verificação (Clarke Jr *et al.*, 2018).

Model checking simbólico

Execução simbólica

Execução simbólica é uma técnica para análise de programas que substitui o valor das variáveis do programa por expressões simbólicas com o intuito de descobrir todos os caminhos de execução viáveis por meio da construção de um grafo de fluxo de controle (GFC) (KING, 1976). Há condições para cada caminho simbólico, e para que o caminho seja viável a condição de seu caminho deve ser satisfatória. O GFC é a representação resultante, que é checada por meio de *SMT-solvers* (*Satisfiability modulo theories*) para identificação e detecção de vulnerabilidades (ALMAKHOUR *et al.*, 2020).

Interpretação abstrata

A interpretação abstrata formaliza a ideia de abstração de estruturas matemáticas que visam obter solidez na análise de programas por meio do fornecimento de uma semântica aproximada de um programa (COUSOT, 2012). A semântica concreta é uma caracterização matemática que formaliza o conjunto de todas as execuções possíveis em todos os ambientes de execução possíveis. No contexto dos CIs, interpretação abstrata ignora certas instruções enquanto executa o bytecode por meio de tradução de instruções para algum outro formalismo, e então explora todas as execuções possíveis (ALMAKHOUR *et al.*, 2020).

Fuzzing

Teste *Fuzz*, ou *fuzzing* é uma técnica para teste de software em que são fornecidos dados de entrada aleatórios chamados de *FUZZ*, que são usados em algum programa de computador (ALMAKHOUR *et al.*, 2020). Uma ferramenta de teste *fuzz*, ou *fuzzer*, gera entradas de teste para um programa alvo de forma iterativa e aleatória (KLEES *et al.*, 2018).

Os *fuzzers* geralmente seguem o seguinte procedimento (KLEES *et al.*, 2018): (i) O processo é iniciado com a seleção de um conjunto de "sementes" de entrada com as quais o

programa é testado; (ii) O *fuzzer* cria repetitivamente mutações dessas entradas e avalia o programa testado. (iii) Se o resultado obtido for considerado interessante, então o *fuzzer* mantém a mutação de entrada para uso futuro e armazena o que foi observado; (iv) O *fuzzer* é encerrado em duas situações, quando um determinado objetivo é alcançado (e.g., um determinado *bug* é encontrado, ou quando uma entrada causa o travamento do programa testado), ou quando o limite de tempo é atingido.

Análise de contaminação

METODOLOGIA E TÉCNICAS DE PESQUISA

Este capítulo tem a finalidade de apresentar como a pesquisa foi estruturada. Primeiramente, foram realizadas buscas por trabalhos que abordam a tecnologia blockchain, como estudos secundários e livros. Desta forma, obteve-se um panorama sobre os conceitos gerais envolvidos no funcionamento da blockchain, assim como características específicas que diferenciam blockchains distintas, em particular, a Bitcoin e a Ethereum. Assim, também foi observado em vários trabalhos que aplicações que executam sobre a blockchain Ethereum sofreram diversos ataques, especialmente devido à exploração de vulnerabilidades sobre os CIs, que foram um elemento crucial para a criação da Ethereum, bem como para sua popularização. Com base nisso, foi empregada uma estratégia para revisão bibliográfica conhecida como Mapeamento Sistemático (MS), empregada neste trabalho com o objetivo de identificar e classificar o conteúdo relacionado à verificação para correção ou detecção de vulnerabilidades para aprimoramento da segurança dos CIs. O MS foi conduzido seguindo os métodos descritos por [Nakagawa *et al.* \(2017\)](#) e [Kitchenham e Charters \(2007\)](#). Para descrever como foi conduzido o processo de pesquisa, tal como os métodos empregados, foram seguidas as seguintes tarefas:

1. Planejamento e execução do MS;
2. Seleção do método de verificação e detecção de vulnerabilidades adequado para a proposta;
3. Seleção das vulnerabilidades abordadas por meio da proposta;
4. Definição da estratégia para validação da proposta.

3.1 Mapeamento Sistemático

O processo de MS empregado neste trabalho é realizado em três fases: (i) planejamento; (ii) condução; e (iii) publicação dos resultados. O planejamento do MS é a fase na qual é definido

o objetivo e o protocolo do MS. No protocolo são especificados os procedimentos necessários para identificação dos estudos primários, tais como: questões de pesquisa; estratégia de busca; fontes de pesquisa; *string* de busca; e critérios de seleção. A fase de condução consiste em identificar os estudos primários com base nas estratégias de busca e seleção, além de extrair e sintetizar os dados de forma a auxiliar o processo de resposta das questões de pesquisa. Por fim, na fase de publicação dos resultados, as questões de pesquisa são respondidas e os resultados são relatados e avaliados (NAKAGAWA *et al.*, 2017; KITCHENHAM; CHARTERS, 2007).

Adiante, na Seção 3.1.1, são descritas as fases de planejamento e condução do MS, nas quais os itens relacionados ao protocolo do MS são retratados, os estudos primários são identificados e submetidos à extração de seus dados, e a estratégia de sintetização dos dados é definida. Em seguida, na Seção 3.1.2, os resultados são obtidos e as questões de pesquisa respondidas. Por fim, na Seção 3.1.3 há uma discussão acerca dos resultados obtidos.

3.1.1 Planejamento e condução

O MS realizado neste trabalho tem o objetivo de revisar o estado da arte dos estudos realizados que abordam a verificação para correção ou detecção de vulnerabilidades para aprimoramento da segurança dos CIs, assim como classificar as abordagens empregadas e suas formas de implementação, identificar limitações existentes, e, por fim, analisar as estratégias de validação utilizadas.

Com o intuito de guiar o processo de revisão e satisfazer os objetivos, foram formuladas as questões de pesquisa. O foco das questões de pesquisas estão em identificar as abordagens utilizadas, assim como suas limitações e seus respectivos procedimentos de validação. Ademais, também deve-se identificar quais ferramentas e frameworks foram desenvolvidos ou utilizados para aplicação das propostas. Deste modo, baseado no objetivo deste MP, foram levantadas cinco questões de pesquisa (QP). São elas:

- **QP 1.** Quais abordagens têm sido propostas?
- **QP 2.** Quando e onde os estudos têm sido aplicados?
- **QP 3.** Quais problemas ou vulnerabilidades relacionados aos CIs têm sido abordados?
- **QP 4.** Quais estratégias de validação foram utilizadas?
- **QP 5.** Quais são as limitações presentes nas abordagens?

Para levantamento dos estudos necessários para responder as questões de pesquisa, foram utilizados os motores de busca *Engineering Village*¹, *Scopus*² e *Web of Science*³. Como

¹ <<https://www.engineeringvillage.com/>>

² <<https://www.scopus.com/>>

³ <<https://www.webofknowledge.com>>

complemento, a pesquisa também foi realizada sobre as bases de dados bibliográficas *IEEE Xplore*⁴ e *ACM Digital Library*⁵. Todos os motores de busca e bases bibliográficas selecionados permitem especificar os campos sobre os quais a busca é executada. Neste MS, os repositórios foram configurados para efetuar a busca sobre o título, o resumo e as palavras-chave dos estudos. Além disso, no motor de busca *Web of Science*, os resultados foram refinados para abranger apenas as categorias relacionadas à ciência da computação.

Com os repositórios de artigos definidos, o passo seguinte foi determinar a *string* de busca, composta por palavras-chave e operadores lógicos para conduzir o processo de busca nos repositórios. Como exposto por Nakagawa *et al.* (2017), o MS é um processo iterativo, pois, ao longo de seu desenvolvimento, pode-se notar a necessidade de ajustes no objetivo e no protocolo, que são então modificados, o protocolo é reavaliado, e o processo de condução recomeçado. Ao longo desta pesquisa, foram necessários alguns ajustes na *string* de busca, a fim de adequar as palavras-chave escolhidas para abranger mais artigos relacionados com o objetivo deste MS. Por fim, obteve-se a seguinte *string* de busca:

(“smart contract” OR “ethereum bytecode”) AND (verification OR validation OR monitor OR analysis OR formalization OR “formal methods” OR “security vulnerabilities” OR “security bugs” OR “vulnerability detection” OR “bug detection” OR optimiz*)*

Tabela 2 – Quantidade de estudos encontrados nos repositórios

Repositórios	Nº de estudos
Engineering Village	865
Scopus	906
Web of Science	170
ACM Digital Library	65
IEEE Xplore	85
Total	2091

Fonte: Dados da pesquisa.

Uma vez definida a *string* de busca, as buscas nos repositórios foram realizadas. Considerando a eliminação de artigos duplicados, a quantidade de estudos encontrados em cada repositório é apresentada na Tabela 2. O levantamento dos trabalhos ocorreu semanalmente, assim, o mecanismo de busca das bases bibliográficas e dos motores de busca foram configurados para enviarem atualizações semanais.

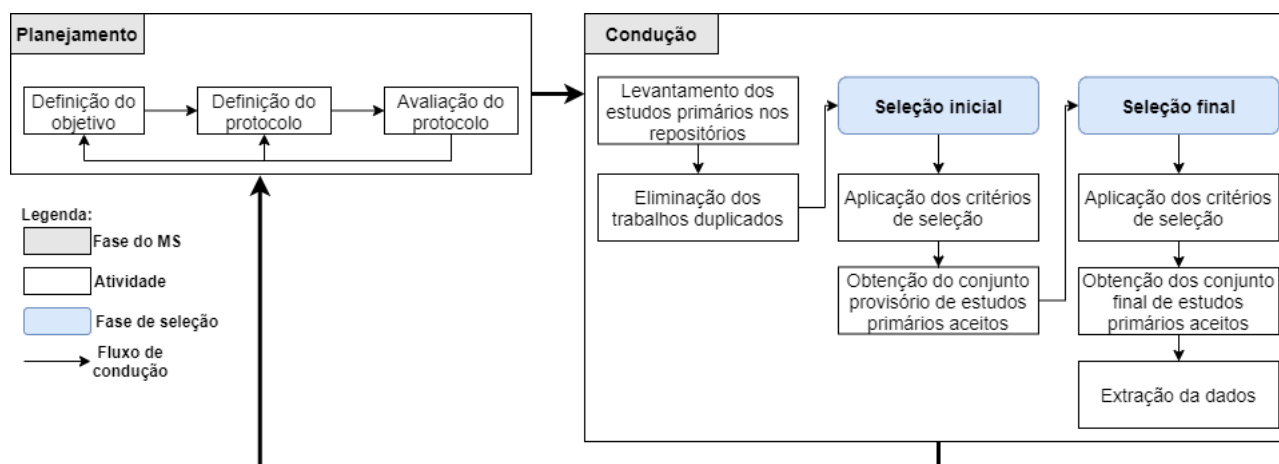
Após o levantamento dos artigos, foram aplicadas duas fases de revisão para selecionar apenas os trabalhos relevantes para esta pesquisa. Na primeira fase, a revisão inicial, o resumo de cada artigo foi lido, e, quando necessário, a introdução e a conclusão também, e então cada

⁴ <<https://ieeexplore.ieee.org/>>

⁵ <<https://dl.acm.org/>>

trabalho foi incluído ou excluído da revisão de acordo com critérios de seleção predefinidos. Em caso de dúvida, o estudo foi aceito na revisão inicial para novamente analisado na fase seguinte. Assim, obteve-se o conjunto provisório de estudos primários aceitos, sobre o qual foi realizada a fase de revisão final. Nesta fase cada artigo teve todo seu texto lido, e então foi novamente submetido aos critérios de seleção. O processo de planejamento e condução deste MS é ilustrado na Figura 10.

Figura 10 – Fluxo de atividades das fases de planejamento e condução do MS



Fonte: Elaborada pelo autor.

Para selecionar os estudos relacionados ao tópico de pesquisa deste MP, foi definido o seguinte critério de inclusão (CrI):

- **CrI 1.** O estudo propõe uma abordagem que é utilizada para verificação formal para correção ou detecção de vulnerabilidades para garantia de segurança de CIs?

Os estudos excluídos foram rejeitados de acordo com sua adequação à pelo menos um dos seguintes critérios de exclusão (CE):

- **CE 1.** O estudo não propõe uma abordagem que é utilizada para verificação formal para correção ou detecção de vulnerabilidades para garantia de segurança de CIs?
- **CE 2.** O estudo não possui o texto completo publicado?
- **CE 3.** O estudo não é escrito na língua inglesa?
- **CE 4.** O estudo é uma versão antiga de outro artigo selecionado?
- **CE 5.** O estudo não é um estudo primário?
- **CE 6.** Não foi possível acessar o texto completo do estudo?

Depois da eliminação dos estudos duplicados e da execução das fases de seleção inicial e final, obteve-se os estudos primários necessários para responder às questões de pesquisa. A quantidade de estudos aceitos e rejeitados de cada repositório é exposta na Tabela 3, somando um total de 104 estudos selecionados. Na Tabela 4 é listada a citação e o identificador (*ID*) de cada estudo selecionado. No decorrer deste capítulo, os identificadores são utilizados para se referir à publicação correspondente.

Tabela 3 – Quantidade de estudos primários selecionados em cada repositório

Repositórios	Aceitos	Rejeitados
Engineering Village	41	824
Scopus	47	859
Web of Science	5	165
ACM Digital Library	7	58
IEEE Xplore	4	81
Total	104	1987

Fonte: Dados da pesquisa.

Tabela 4 – Estudos selecionados

ID	Citação	ID	Citação	ID	Citação
#1	Torres <i>et al.</i> (2020)	#36	Prechtel, Groß e Müller (2019)	#71	Li <i>et al.</i> (2020b)
#2	Fu <i>et al.</i> (2019)	#37	Kolluri <i>et al.</i> (2019)	#72	Li <i>et al.</i> (2020a)
#3	Sun e Yu (2020)	#38	Yang e Lei (2019)	#73	Albert <i>et al.</i> (2019)
#4	Wang, Yang e Li (2020)	#39	Nikolić <i>et al.</i> (2018)	#74	Chang <i>et al.</i> (2019)
#5	Park <i>et al.</i> (2018)	#40	Duo, Xin e Xiaofeng (2020)	#75	Hao <i>et al.</i> (2020)
#6	Du e Huang (2020)	#41	Bai <i>et al.</i> (2018)	#76	Tsankov <i>et al.</i> (2018)
#7	Yang, Lei e Qian (2020)	#42	Liu e Liu (2019)	#77	Li, Choi e Long (2020)
#8	Xing <i>et al.</i> (2020)	#43	Li <i>et al.</i> (2019)	#78	Kongmanee, Kijsanayothin e Hewett (2019)
#9	Horta <i>et al.</i> (2020)	#44	Abdellatif e Brousmiche (2018)	#79	Zhou <i>et al.</i> (2018)
#10	Marescotti <i>et al.</i> (2020)	#45	Qu <i>et al.</i> (2018)	#80	Peng, Akca e Rajan (2019)
#11	Lahbib <i>et al.</i> (2020)	#46	Madl <i>et al.</i> (2019)	#81	Feist, Grieco e Groce (2019)
#12	Weiss e Schütte (2019)	#47	Bhargavan <i>et al.</i> (2016)	#82	Tian (2019)
#13	Wang <i>et al.</i> (2020a)	#48	Wang <i>et al.</i> (2019)	#83	Yu <i>et al.</i> (2020)
#14	Sun e Gu (2021)	#49	Ding <i>et al.</i> (2020)	#84	Zhuang <i>et al.</i> (2019)
#15	Beillahi <i>et al.</i> (2020)	#50	Chen <i>et al.</i> (2020b)	#85	Tikhomirov <i>et al.</i> (2018)
#16	Gao <i>et al.</i> (2020)	#51	Ashraf <i>et al.</i> (2020)	#86	Zhang <i>et al.</i> (2020)
#17	Marescotti <i>et al.</i> (2018)	#52	Wüstholtz e Christakis (2020)	#87	Alt e Reitwiessner (2018)
#18	Jiang, Liu e Chan (2018)	#53	Huang <i>et al.</i> (2021)	#88	Akca, Rajan e Peng (2019)
#19	Wang <i>et al.</i> (2019)	#54	Momeni, Wang e Samavi (2019)	#89	Hajdu e Jovanović (2019)
#20	Wang <i>et al.</i> (2020)	#55	Grech <i>et al.</i> (2018)	#90	Liao <i>et al.</i> (2019)
#21	Xue <i>et al.</i> (2020)	#56	Luu <i>et al.</i> (2016)	#91	Lai e Luo (2020)
#22	Shishkin (2019)	#57	Mossberg <i>et al.</i> (2019)	#92	Feng, Torlak e Bodik (2020)
#23	Nehai e Bobot (2019)	#58	Osterland e Rose (2020)	#93	Krupp e Rossow (2018)
#24	Hirai (2017)	#59	Nehai, Piriou e Daumas (2018)	#94	Torres, Steichen <i>et al.</i> (2019)
#25	Ji <i>et al.</i> (2020)	#60	He (2020)	#95	Mavridou e Laszka (2018)
#26	Wang, Zhang e Su (2019)	#61	Azzopardi, Ellul e Pace (2018)	#96	Qian <i>et al.</i> (2020)
#27	Argañaraz <i>et al.</i> (2020)	#62	Zhang <i>et al.</i> (2019)	#97	Liu <i>et al.</i> (2020)
#28	Atzei <i>et al.</i> (2019)	#63	Lu <i>et al.</i> (2019)	#98	Chen <i>et al.</i> (2018)
#29	Albert <i>et al.</i> (2021)	#64	Wang <i>et al.</i> (2020b)	#99	Amani <i>et al.</i> (2018)
#30	Gao <i>et al.</i> (2019)	#65	Torres, Schütte e State (2018)	#100	Ahrendt <i>et al.</i> (2019)
#31	Brent <i>et al.</i> (2020)	#66	Yamashita <i>et al.</i> (2019)	#101	Nelaturu <i>et al.</i> (2020)
#32	Frank, Aschermann e Holz (2020)	#67	Chatterjee, Goharshady e Velner (2018)	#102	So <i>et al.</i> (2020)
#33	Ashouri (2020)	#68	Chinen <i>et al.</i> (2020)	#103	Mavridou <i>et al.</i> (2019)
#34	Schneidewind <i>et al.</i> (2020)	#69	Samreen e Alalfi (2020)	#104	Permenev <i>et al.</i> (2020)
#35	Zhang <i>et al.</i> (2020)	#70	Liu <i>et al.</i> (2018)		

Fonte: Dados da pesquisa.

A partir do conjunto final de estudos primários aceitos, foi feita a extração de dados desses trabalhos, na qual informações foram coletadas com o intuito de auxiliar na resposta das questões de pesquisa.

Para condução um MS, é preciso determinar um esquema de classificação para guiar a extração e sintetização dos dados (PETERSEN *et al.*, 2008). Para as questões de pesquisa *QP 1*, *QP 3* e *QP 4* a estratégia de classificação foi definida levando em consideração informações coletadas dos próprios estudos selecionados. A *QP2* não necessita de classificação, já que trata apenas de informações como o ano e o veículo de publicação dos estudos. Para a *QP 4* alguns aspectos dos estudos foram analisados, mas nem todos possuem uma classificação direta, já que alguns dados foram coletados de forma não estruturada e sem uma classificação predefinida. As categorias e classificações definidas são expostas a seguir.

Abordagens propostas (QP 1)

Diversas técnicas foram propostas para verificação e correção de CIs com o intuito de mitigar problemas de segurança e a exposição a ataques que visam a exploração de vulnerabilidades no códigos dos contratos para obtenção de benefícios. A partir dos estudos selecionados, foram consideradas dez categorias. São elas: Análise estática; análise dinâmica; análise simbólica; execução simbólica; demonstração de teoremas; *model checking*; verificação dedutiva; *fuzzing*; inteligência artificial (IA); e outras.

Nos trabalho selecionados, observou-se quatro variações das abordagens baseadas em *model checking*, como o *model checking* tradicional, o simbólico, o limitado, e o estatístico. Entre as abordagens que utilizam IA, duas técnicas específicas são utilizadas: *machine learning*; e *deep learning*. As variações das abordagens de *model checking* e IA são consideradas como sub-categorias e são tratadas separadamente nos resultados da *QP 1*. Já as técnicas observadas em apenas um dos estudos selecionados são englobadas na categoria *outras*.

As abordagens também são classificadas de acordo com o tipo de verificação, sendo que, neste MS, foram identificados três tipos: proativa; correta por construção (do inglês, *correct-by-construction* (CBC)); e em tempo de execução.

Problemas e vulnerabilidades abordados (QP 3)

Os estudos realizados para verificação de CIs têm como foco diversas vulnerabilidades e problemas para serem verificados. Além da detecção de vulnerabilidades específicas, várias abordagens permitem a detecção de violação de propriedades específicas para cada contrato, que podem ser propriedades funcionais, lógicas, ou baseadas nos requerimentos e requisitos de cada CI. Neste MS, a violação de propriedades é definida com uma categoria de problemas ou vulnerabilidades abordadas. Ademais, algumas abordagens têm foco na correção sintática e semântica dos CIs, o que define mais uma categoria a ser analisada. As vulnerabilidades de segurança tratadas pelos estudos são classificadas em 23 tipos. Na Tabela 5 são listadas todas as vulnerabilidades e problemas considerados para responder esta questão de pesquisa, cada um acompanhado da respectiva sigla.

Estratégias de validação (QP 4)

De forma geral, nas pesquisas desenvolvidas para verificação de CIs, alguma ferramenta ou framework é implementado para validação do método proposto, ou é utilizado algum já existente. Em alguns casos, o método proposto não é implementado, e sua aplicação é descrita apenas como um processo. Em todos os casos, alguma estratégia é utilizada para validação da proposta. Baseado nos estudos selecionados, os mecanismos de aplicação das propostas (*M*) são definidos conforme segue:

- *M1*. Implementação de um framework ou ferramenta;
- *M2*. Utilização de um framework ou ferramenta já existente;
- *M3*. Descrição de um processo.

A estratégia de validação das propostas são classificadas em três categorias, definidas com base nos estudos selecionados. São elas:

- **Experimento:** A avaliação da proposta é feita a partir da definição de métricas como acurácia, eficiência, custo, performance, entre outras. O processo de experimentação dos métodos de verificação de CIs englobam ao menos um dos seguintes procedimentos: (i) experimento em larga escala, no qual é obtida uma amostra grande, geralmente com milhares de CIs com vulnerabilidades previamente conhecidas ou não; (ii) experimento reduzido, em que é utilizada uma amostra relativamente pequena de CIs, que pode variar de algumas unidades até centenas de contratos, geralmente com vulnerabilidades previamente conhecidas. Em alguns casos, essa amostra de contratos é obtida a partir de critérios predefinidos, formando um *benchmark* de CIs; (iii) avaliação empírica, na qual uma ou mais ferramentas, frameworks ou técnicas conhecidas na literatura são utilizados no experimento para comparação dos resultados e comprovação de avanços e melhorias;
- **Estudo de caso:** Como prova de conceito, um ou mais CIs previamente conhecidos são analisados e verificados por meio do método proposto. Na sequência, os resultados são examinados, e a aplicabilidade da proposta é esclarecida;
- **Exemplo de aplicação:** Como prova de conceito, são descritos um ou mais exemplos simples de utilização da proposta.

Limitações (QP 5)

A verificação e detecção de vulnerabilidades em CIs é uma área de pesquisa recente, e, como relatado por [Chen et al. \(2020a\)](#) e [Kim e Lee \(2020\)](#), as abordagens existentes apresentam diversas limitações. Para responder esta questão de pesquisa, dois aspectos foram considerados para classificação sistemática dos estudos. São eles:

- **Abrangência limitada:** A verificação não abrange todos os elementos dos CIs, mas apenas algum sub-conjunto da linguagem Solidity;
- **Nível de automação:** Mesmo que a estratégia proposta execute a verificação de forma automática, alguns trabalhos manuais podem ser necessários, como tradução de código, obtenção do modelo do contrato, especificação de propriedades, e a análise e interpretação dos resultados.

Outros dois aspectos que foram aspectos observados, mas que não são classificados de forma sistemática, são:

- **Necessidade de conhecimento prévio:** Para aplicação da abordagem é necessário ter o domínio de alguma linguagem ou formalismo específico para modelagem do contrato ou para definição dos padrões de vulnerabilidades e propriedades a serem verificadas;
- **Acurácia:** A ferramenta ou framework proposto para detecção de vulnerabilidades de CIs retornar falsos positivos e falsos negativos entre seus resultados.

Dentre os aspectos analisados para definir as limitações das abordagens de verificação, os dados sobre a abrangência limitada e o nível de automação foram coletados de forma estruturada sobre todos os estudos. Para as demais limitações, não foi estabelecida uma classificação predefinida, pois estas podem variar de acordo com a abordagem empregada e não seguem um padrão que permita uma classificação sistemática dos estudos.

Tabela 5 – Vulnerabilidades e problemas alvos de verificação em CIs

Sigla	Vulnerabilidade / Problema	Sigla	Vulnerabilidade / Problema
V ₁	Ataque de profundidade da pilha de chamadas	V ₁₄	Dependência de <i>timestamp</i>
V ₂	Ataque DoS com operações ilimitadas	V ₁₅	Desordem de exceções
V ₃	Autenticação com <i>tx.origin</i>	V ₁₆	Divisão por zero
V ₄	Bloqueio de Ether	V ₁₇	Endereço curto
V ₅	Consumo de <i>gas</i> ineficiente	V ₁₈	Exceções não tratadas
V ₆	Contrato guloso	V ₁₉	Chamada externa não verificada
V ₇	Contrato pródigo	V ₂₀	<i>Integer overflow</i> e <i>underflow</i>
V ₈	Contrato suicida	V ₂₁	Gasto de <i>gas</i> descontrolado
V ₉	Contrato <i>honeypot</i>	V ₂₂	Problemas de concorrência
V ₁₀	Controle de acesso vulnerável	V ₂₃	Reentrância
V ₁₁	<i>Delegatecall injection</i>	VP	Violação de propriedades
V ₁₂	Dependência de informação do bloco	CSS	Correção sintática e semântica
V ₁₃	Dependência de ordem da transação		

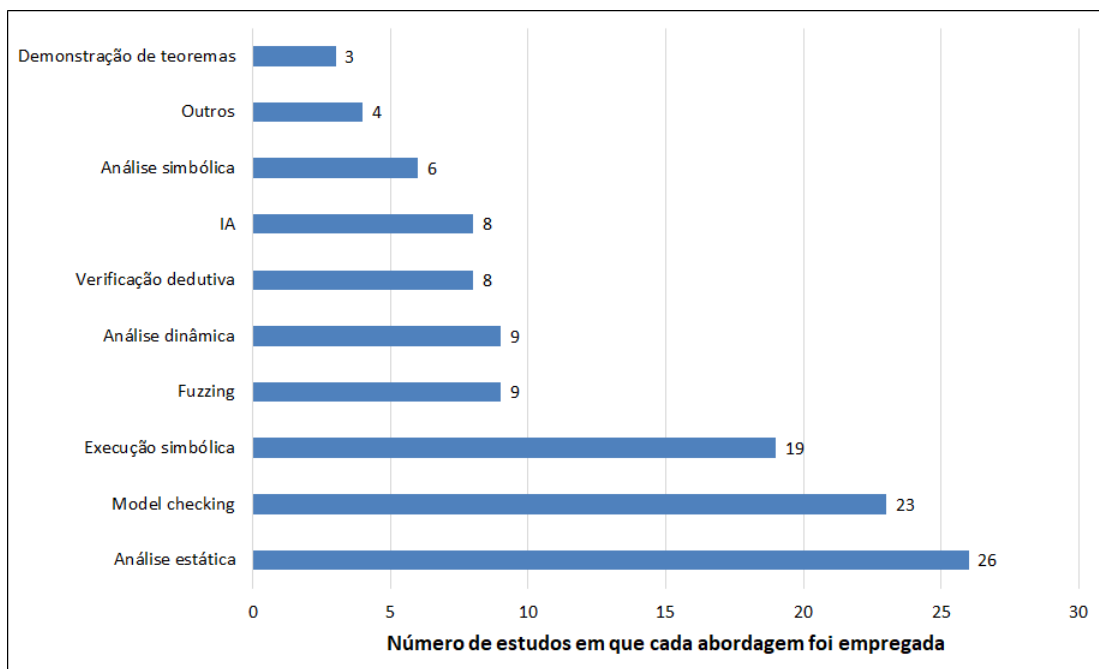
3.1.2 Resultados

O MS foi executado de acordo com os passos descritos na Seção 3.1.1. Nesta seção são apresentados os resultados para cada questão de pesquisa. Para isso, foi utilizado um formulário de extração de dados com o ID do estudo, dados bibliográficos e informações referentes às classificações utilizadas. Tais dados e informações foram utilizados para extrair as respostas das questões de pesquisa, e, posteriormente, para exibição dos resultados.

Abordagens para verificação de CIs (QP. 1)

Em 93 dos trabalhos selecionados é utilizada apenas uma das abordagens categorizadas nesta questão de pesquisa, com exceção de 11 trabalhos, que utilizam abordagens híbridas, nas quais duas técnicas são utilizadas em conjunto. Com o intuito de expor as principais abordagens mais utilizadas para verificação para correção e aprimoramento da segurança de CIs, no gráfico da Figura 11 é apontado o número de estudos em que cada abordagem foi empregada dentre 104 selecionados, na qual pode-se observar uma prevalência das técnicas de execução simbólica, *model checking* e análise estática. Na tabela 6 são mostrados os estudos que empregaram abordagens híbridas.

Figura 11 – Abordagens para verificação de CIs utilizadas



Fonte: Dados da pesquisa.

Tabela 6 – Abordagens híbridas para verificação de CIs

ID	Métodos de verificação
#02, #07, #62, #79	Análise estática e execução simbólica
#69, #76, #88	Análise estática e análise dinâmica
#37	Execução simbólica e <i>fuzzing</i>
#38	Execução simbólica e demonstração de teoremas
#64	Análise dinâmica e <i>fuzzing</i>
#90	<i>Fuzzing</i> e <i>machine learning</i>

Fonte: Dados da pesquisa.

Entre as abordagens baseadas em *model checking* observou-se quatro variações da aplicação desta técnica, consideradas como sub-categorias desta questão de pesquisa. Da mesma forma, também foram identificadas duas sub-categorias entre as abordagens de IA. Os estudos que utilizam *model checking* são expostos na Tabela 7. Das abordagens baseadas em IA, em

#08, #14, #20, #54, #84 e #90 são aplicadas técnicas de *machine learning*, enquanto que em #16 e #96 é utilizado *deep learning*. Dos estudos englobados na categoria *outras*, foram aplicadas as seguintes técnicas de verificação: execução concólica (#12); refinamento de abstração (#67); pesquisa genética e teste de mutação (#83); e interpretação abstrata (#95).

Quanto ao tipo de verificação houve pouca variação, com 92% (96 de 104) dos estudos propondo uma estratégia de verificação proativa. Entre os outros tipos, nos estudos #1, #95, #101 e #103 (4% dos estudos) é utilizado o método CBC, sendo que em #101 também pode-se optar por uma verificação proativa por meio de *model checking*. A verificação em tempo de execução também é pouco explorada, e está presente apenas em #19, #30, #61 e #77 (4%).

Tabela 7 – Técnicas de *model checking* empregadas para verificação de CIs

ID	Técnica de <i>model checking</i> empregada
#04, #10, #11, #28, #40, #41 #42, #45, #46, #47, #58, #59 #60, #78, #101, #103	<i>Model checking</i> tradicional
#26, #32, #48, #87	<i>Model checking</i> limitado
#17, #22	<i>Model checking</i> simbólico
#44	<i>Model checking</i> estatístico

Fonte: Dados da pesquisa.

Classificação das publicações por ano e veículo de publicação (QP. 2)

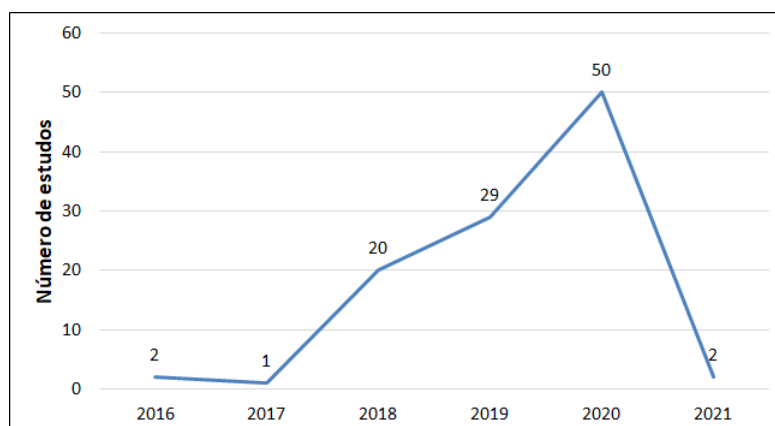
Com o propósito de oferecer uma visão geral dos esforços empregados para verificação de CIs, na Figura 12 é exibido a distribuição dos 104 estudos ao longo dos anos. Como pode-se observar, os esforços para verificação de CIs são recentes, iniciando em 2016 e crescendo rapidamente, principalmente a partir de 2018. Ademais, como complemento à QP. 1, no gráfico da Figura 13 é exposto a distribuição da utilização das abordagens para verificação de CIs em cada ano, e na Tabela 8 essa distribuição é exibida com a identificação dos estudos. Deste modo, observa-se que análise estática, *model checking* e análise simbólica, além de serem as abordagens mais utilizadas, são as que mais prevaleceram ao longo dos últimos anos.

Os estudos selecionados foram publicados em Conferências, Simpósios, Periódicos e Workshops. Conferências têm sido o principal veículo de publicação, abrangendo 57% (59 de 104 estudos). Em seguida, os estudos publicados em Periódicos representam 22% (23 de 104), enquanto as publicações em Simpósios englobam 16% (17 de 104). Por fim, apenas 5 estudos foram apresentados em Workshops (5%). Constatase que, apesar da maioria dos estudos terem sido publicados em conferências, não há um meio de publicação padrão para este tipo de pesquisa, assim como os eventos e periódicos de publicação, que também são variados.

Vulnerabilidades e problemas tratados pelas abordagens de verificação de CIs (QP. 4)

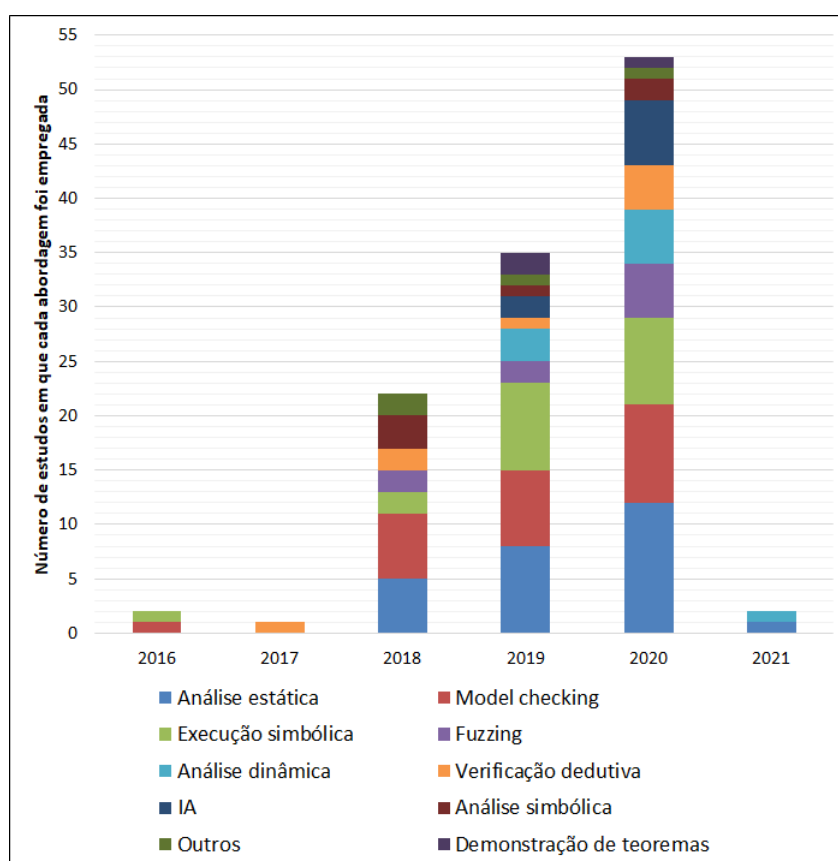
Na Figura 14 é exibido um gráfico que ilustra o número de estudos em que cada vulnerabilidade e problema é tratado. Desta forma, pode-se notar o foco dos esforços despendidos para

Figura 12 – Distribuição dos estudos selecionados ao longo dos anos



Fonte: Dados da pesquisa.

Figura 13 – Distribuição das abordagens para verificação de CIs empregadas ao longo dos anos



Fonte: Dados da pesquisa.

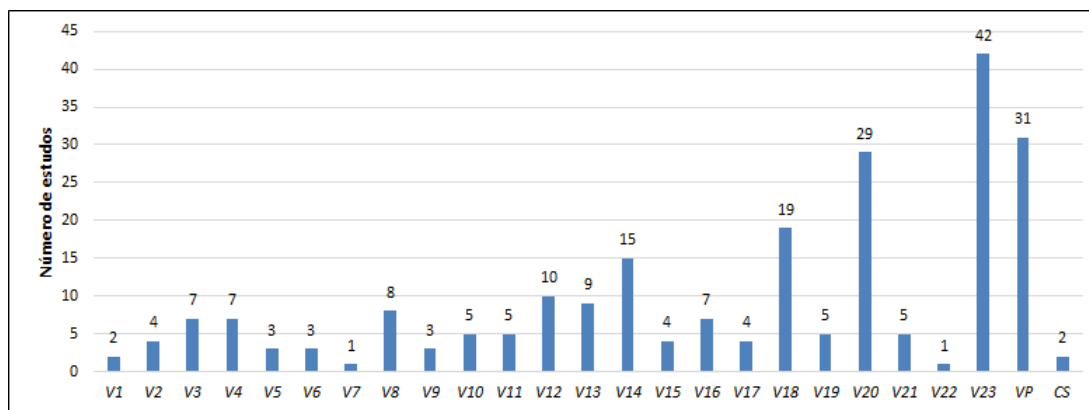
verificação de CIs, principalmente para as vulnerabilidades de reentrância V_{23} , *integer overflow* e *underflow* V_{20} , exceções não tratadas V_{18} e dependência de *timestamp* V_{14} , e também para a detecção de violação de propriedades (*VP*). Os estudos em que cada um dos itens são abordados são listados na Tabela 9.

Tabela 8 – Abordagens para verificação de CIs empregadas ao longo dos anos

Abordagem	2016	2017	2018	2019	2020	2021
Análise estática			#55, #76, #79, #85 #98	#2, #62, #63, #66 #73, #80, #81, #88	#06, #07, #21, #27 #31, #34, #69, #71 #75, #77, #86, #91	#29
Model checking	#47		#17, #41, #44, #45 #59, #87	#22, #26, #28, #42 #46, #78, #103	#04, #10, #11, #32 #40, #48, #58, #60 #101	
Execução simbólica	#56		#65, #79	#2, #36, #37, #38 #57, #62, #74, #82	#07, #13, #25, #50 #68, #89, #97, #104	
Fuzzing			#18, #70	#37, #90	#33, #35, #51, #52 #64	
Análise dinâmica				#30, #61, #88	#01, #19, #49, #64 #69	#53
Verificação dedutiva		#24	#5, #99	#100	#09, #15, #23, #102	
IA				#54, #90	#08, #14, #16, #20 #84, #96	
Análise simbólica			#39, #76, #93	#94	#72, #92	
Outras			#67, #95	#12	#83	
Demonstração de teoremas				#38, #43	#03	

Fonte: Dados da pesquisa.

Figura 14 – Distribuição das vulnerabilidades e problemas tratados na verificação de CIs



Fonte: Dados da pesquisa.

Estratégias de validação utilizadas (QP 4.)

Dos 104 estudos selecionados, em 76 (73%) o método de verificação proposto é implementado por meio de um framework ou ferramenta (*M1*), e em 22 (21%) é utilizado um framework ou ferramenta já existente (*M2*). Nos outros 6 estudos (6%) a verificação é descrita como um processo (*M3*), e, portanto, não é retratado o desenvolvimento ou o uso de algum *software* para guiar ou automatizar o procedimento de verificação. Conforme ilustrado no gráfico da Figura 15 a utilização de um dos mecanismos de aplicação das propostas pode variar de acordo a abordagem de verificação. Na maior parte das abordagens de verificação baseadas em *fuzzing* (8 dos 9 estudos), demonstração de teoremas (2 dos 3), execução simbólica (18 dos 19) e análise estática (25 dos 26), foram implementados frameworks ou ferramentas de verificação. A utilização de frameworks ou ferramentas já existentes prevaleceu principalmente nas categorias

Tabela 9 – Estudos que abordam cada uma das vulnerabilidades e problemas dos CIs

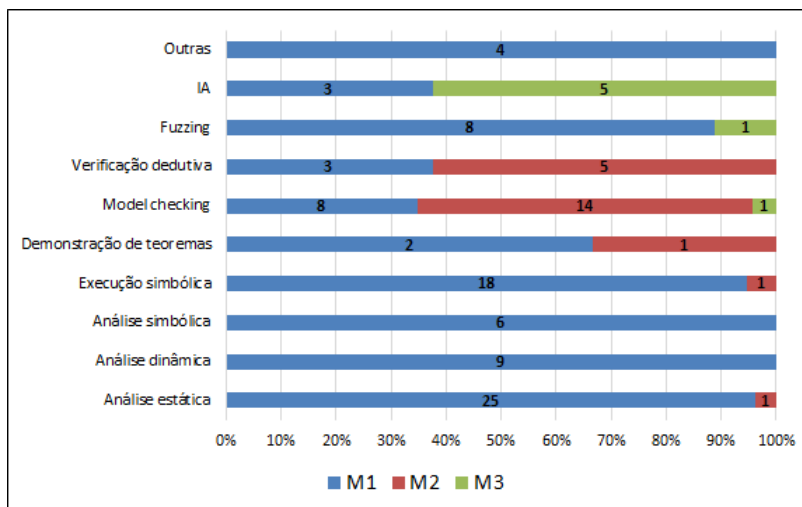
Vulnerabilidade/ Problema	Estudos	Vulnerabilidade/ Problema	Estudos
V ₁	#20, #79	V ₁₄	#14, #16, #18, #20, #26, #51, #56, #71 #79, #82, #84, #85, #88, #90, #92
V ₂	#33, #75, #84, #90	V ₁₅	#18, #51, #64, #83
V ₃	#19, #27, #63, #71, #79, #85, #88	V ₁₆	#65, #79, #80, #85, #87, #88, #102
V ₄	#18, #28, #33, #63, #81, #85, #101	V ₁₇	#08, #33, #90, #101
V ₅	#50, #63, #98	V ₁₈	#02, #07, #13, #18, #19, #33, #35, #36 #47, #51, #53, #56, #63, #76, #81, #85 #88, #92, #101
V ₆	#08, #13, #39	V ₁₉	#26, #63, #86, #90, #101
V ₇	#39	V ₂₀	#02, #03, #05, #07, #08, #14, #16, #19 #20, #30, #33, #52, #53, #55, #63, #56 #65, #71, #75, #80, #83, #86, #87, #88 #89, #90, #91, #92, #102
V ₈	#02, #31, #32, #39, #62, #71, #81, #101	V ₂₁	#16, #17, #29, #55, #98
V ₉	#16, #53, #94	V ₂₂	#45
V ₁₀	#35, #53, #63, #75, #90	V ₂₃	#01, #02, #04, #06, #14, #16, #18, #19 #20, #21, #24, #26, #27, #33, #34, #37 #47, #51, #52, #53, #56, #62, #63, #64 #68, #69, #70, #71, #75, #76, #79, #81 #82, #83, #84, #85, #86, #89, #90, #92 #96, #101
V ₁₁	#02, #13, #18, #19, #31	V _P	#07, #09, #10, #11, #15, #21, #22, #23, #24 #28, #34, #40, #41, #42, #43, #44, #46 #47, #58, #59, #60, #61, #73, #74, #77 #78, #89, #97, #99, #100, #103, #104
V ₁₂	#02, #13, #18, #33, #51, #53, #63, #75 #90, #92	CSS	#07, #48
V ₁₃	#02, #20, #26, #37, #56, #76, #79, #83 #90		

de verificação dedutiva e *model checking* (5 dos 8, e 14 dos 25 estudos, respectivamente). A aplicação da verificação como descrição de um processo ocorreu apenas em uma das propostas de *model checking* e *fuzzing*, e também em 5 das 8 propostas baseadas em IA. Por fim, nas categorias de análise simbólica, análise dinâmica e em outras, todos os estudos empregam o mecanismo *MI*.

Entre as estratégias de validação das propostas, em 63% dos estudos foi aplicado algum experimento, enquanto que o estudo de caso e o exemplo de aplicação foram utilizados como prova de conceito em 25% e 14% dos estudos, respectivamente. Na Figura ?? é mostrada a frequência em as estratégias de validação são empregadas sobre cada uma das abordagens de verificação. Assim, nota-se uma quantidade relativamente baixa de experimentos nas propostas de verificação dedutiva e *model checking*, assim como na demonstração de teoremas, em que nenhum experimento foi executado.

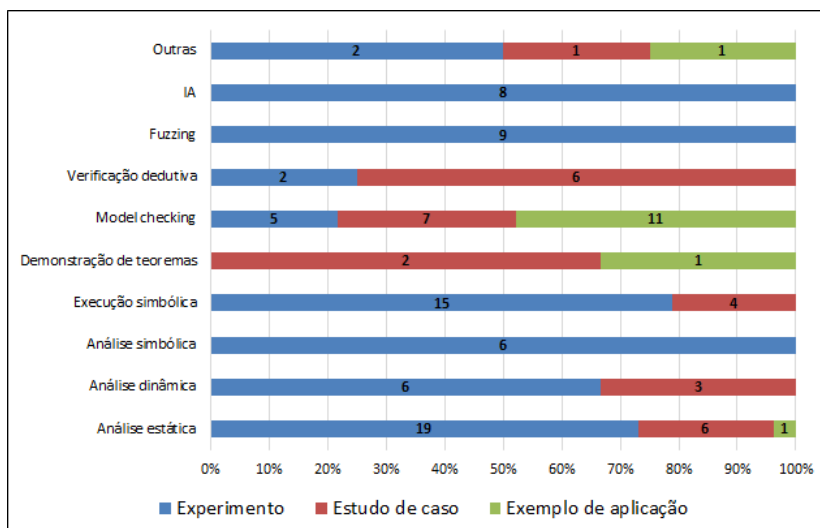
No total, 65 dos 104 estudos realizaram algum experimento para validação das propostas, e, dentre esses, um ou mais procedimentos foram aplicados ao longo do processo de experimentação. Dos 65 estudos, em 47 (72%) é aplicado um experimento em larga escala, enquanto que em 38 (37%) é realizado um experimento reduzido e em 28 (43%) é acrescentado algum procedimento para avaliação empírica. A relação do número de estudos nos quais foram descritos ao menos um dos procedimentos experimentais citados é ilustrada no diagrama de Venn

Figura 15 – Utilização dos mecanismos de aplicação das propostas em cada abordagem de verificação



Fonte: Dados da pesquisa.

Figura 16 – Utilização das estratégias de validação em cada abordagem de verificação



Fonte: Dados da pesquisa.

Figura 17. Vale salientar que, os números 14 e 18, que estão fora das intersecções, representam o número de estudos nos quais foi aplicado apenas o procedimento de experimento reduzido ou em larga escala, nesta ordem.

Limitações presentes nas abordagens (QP 5.)

Em relação à abrangência da verificação de CIs, em 70% (73 de 104) dos estudos o método empregado engloba todos elementos da linguagem Solidity, ou outra linguagem para programação de CIs considerada, enquanto no restante (31 de 104) é considerada apenas algum subconjunto de elementos da linguagem. Quanto ao nível de automatização, em 66% (69 de 104) dos estudos é proposta uma estratégia automática para verificação, enquanto em 9% (9) a

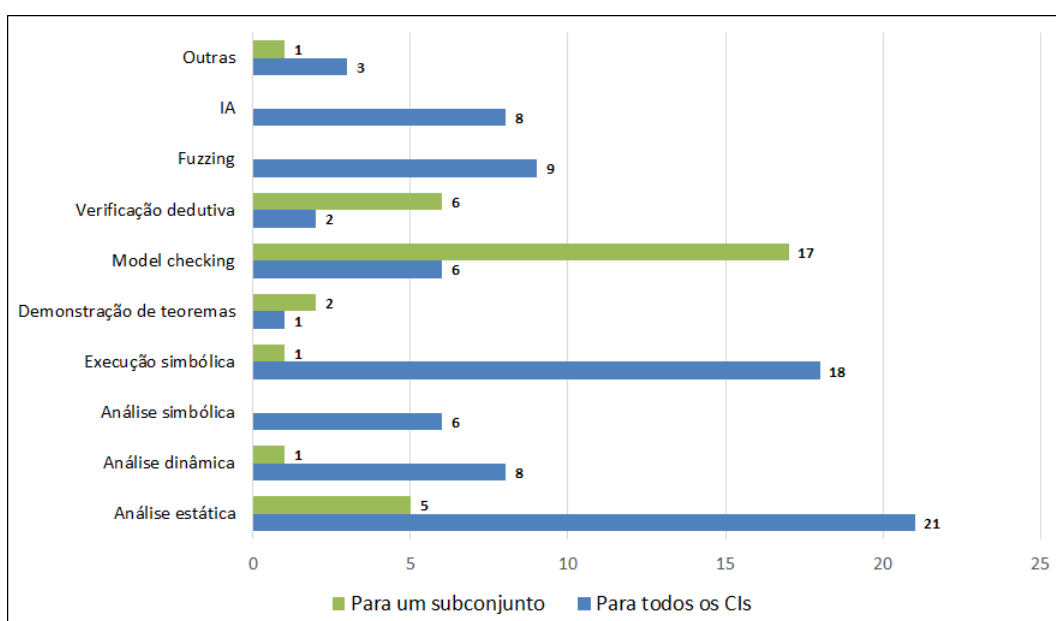
Figura 17 – Procedimentos aplicados sobre os estudos que realizaram validação experimental



Fonte: Dados da pesquisa.

verificação é feita manualmente, ou então não é descrito nenhum mecanismo de automatização. Os outros 26 estudos (26%) empregam estratégias semi-automatizadas, das quais é necessário execução manual de ao menos um dos seguintes procedimentos: (i) tradução de código (9); obtenção do modelo a ser verificado (16); especificação das propriedades (22); e análise e interpretação dos resultados (9). Informações sobre a abrangência e o nível de automação de cada abordagem de verificação são expostas nas Figuras 18 e 19, respectivamente, e os estudos incluídos em cada uma das classificações são listados nas Tabelas 10 e 11.

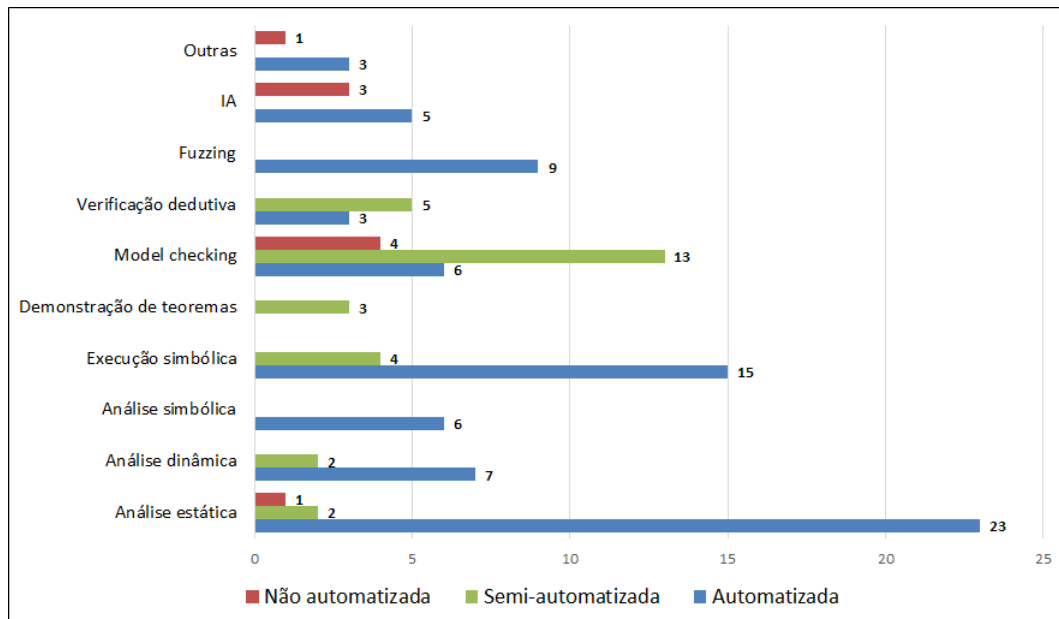
Figura 18 – Abrangência das abordagens para verificação de CIs



Fonte: Dados da pesquisa.

Das abordagens de verificação, as únicas nas quais a maioria dos trabalhos não abrange

Figura 19 – Nível de automação das abordagens para verificação de CIs



Fonte: Dados da pesquisa.

Tabela 10 – Abrangência e automação das abordagens de verificação de CIs

Abordagem	Abrangência		Automatizada	Automação Semi-Automatizada	Não automatizada
	Para todos os CIs	Para um subconjunto			
Análise estática	#02, #21, #27, #29, #31 #34, #55, #62, #63, #71 #75, #76, #77, #79, #80 #81, #85, #86, #88, #91 #98	#06, #07, #66, #69, #73	#02, #21, #27, #29, #31 #34, #55, #62, #63, #66 #71, #73, #75, #76, #77 #79, #80, #81, #85, #86 #88, #91, #98	#07, #69	#06
Análise dinâmica	#39, #72, #76, #92, #93 #94		#39, #72, #76, #92, #93 #94		
Análise simbólica	#39, #72, #76, #92, #93 #94		#39, #72, #76, #92, #93 #94		
Execução simbólica	#02, #13, #25, #36, #37 #38, #50, #56, #57, #62 #65, #68, #74, #79, #82 #89, #97, #104	#7	#02, #13, #25, #36, #37 #50, #56, #57, #62, #65 #68, #74, #79, #82, #89	#7, #38, #97, #104	
Demonstração de teoremas	#38	#03, #43		#03, #38, #43	
Model checking	#10, #26, #32, #48, #101 #103	#04, #11, #17, #22, #28 #40, #41, #42, #44, #45 #46, #47, #58, #59, #60 #78, #87	#10, #26, #32, #47, #48 #87	#04, #11, #22, #28, #41 #44, #45, #46, #58, #59 #78, #101, #103	#17, #40, #42, #60
Verificação dedutiva	#100, #102	#05, #09, #15, #23, #24 #99	#15, #23, #102	#05, #09, #24, #99, #100	
Fuzzing	#18, #33, #35, #37, #51 #52, #64, #70, #90		#18, #33, #35, #37, #51 #52, #64, #70, #90		
IA	#08, #14, #20, #54, #84 #90, #16, #96		#20, #84, #90, #16, #96		#08, #14, #54
Outras	#12, #83, #95	#67	#12, #83, #95		#67

Fonte: Dados da pesquisa.

todos os elementos dos CIs foram o *model checking* (17 entre 23 estudos), a verificação dedutiva (6 entre 8) e a demonstração de teoremas (2 entre 3). Já na análise estática, análise dinâmica, execução simbólica, e em Outras, na vasta maioria dos estudos todos os aspectos dos CIs são aceitos para verificação, enquanto que na análise simbólica, *fuzzing*, e IA isso se enquadra à todos os trabalhos selecionados.

Quanto ao nível de automação, nota-se que há poucos (ou nenhum) trabalhos semi ou

Tabela 11 – Procedimentos manuais realizados nos métodos semi-automatizados

Abordagem	Procedimentos manuais			
	Tradução de código	Obtenção do modelo	Especificação das propriedades	Análise e interpretação dos resultados
Análise estática	#69		#07	
Execução simbólica	#97		#07, #38, #97, #104	#38
Demonstração de teoremas		#03, #43	#38, #43	#38, #43
Model checking	#11, #22, #45, #59, #78	#11, #22, #41, #44, #45 #46, #58, #59, #78, #101 #103	#11, #22, #28, #41, #44 #45, #46, #58, #59, #78 #101, #103	#04, #41, #44, #45, #46 #78
Verificação dedutiva	#24, #99	#05, #24, #99	#05, #24, #99, #100	#09

Fonte: Dados da pesquisa.

não automatizados entre as abordagens de análise estática, análise dinâmica, análise simbólica, *fuzzing*, e em Outras. Dentre os estudos focados em IA, 3 das 8 propostas foram classificadas como não automatizadas, pois não foram fornecidas informações suficientes para concluir que a verificação é feita de forma automática. Entre as propostas de demonstração de teoremas, *model checking* e verificação dedutiva, todas, ou a maioria não são automatizadas.

Com exceção da demonstração de teoremas, do *model checking* e da verificação dedutiva, foi observado a ocorrência de falsos positivos e falsos negativos entre as vulnerabilidades detectadas pelas ferramentas e frameworks implementados, principalmente quando utilizadas técnicas de análise estática e execução simbólica. De forma indireta, este problema atingiu também os estudos baseados em IA, já que, em alguns destes (20, 54 e 90), os modelos utilizados para treinamento dos algoritmos de detecção são criados a partir dos resultados obtidos de ferramentas que apresentam altas taxas de falsos positivos e falsos negativos, o que pode ter influenciado a qualidade dos modelos. A ocorrência de falsos positivos e falsos negativos foi notada também em técnicas de análise dinâmica, análise simbólica e *fuzzing*.

As abordagens de demonstração de teoremas, *model checking* e verificação dedutiva destacam-se pela sua precisão, já que não produzem falsos positivos e negativos. Porém, estas baseiam-se na aplicação de métodos formais, e exigem algum conhecimento específico sobre técnicas de modelagem e verificação de propriedades, que geralmente não são dominadas por desenvolvedores.

3.1.3 Discussão

Plataformas blockchain baseadas na execução de CIs, como a Ethereum, têm ganhado notável destaque e popularidade nos últimos anos, o que chamou a atenção de diversas áreas interessadas em desfrutar dos benefícios das DApps. Por outro lado, houve também ataques sobre diversos CIs nos quais usuários maliciosos de aproveitaram de vulnerabilidades de segurança presentes nos códigos dos CIs para transferir para a própria conta o Ether associado ao contrato. Estes ataques mobilizaram a academia e a indústria, e, nos últimos ano houve um aumento expressivo das pesquisas que buscam mitigar os riscos destas vulnerabilidades, que iniciaram-se

em 2016. Assim, a verificação e detecção de vulnerabilidades em CIs é um tópico de pesquisa recente e diversas abordagens distintas têm sido empregadas. A identificação e classificação dessas abordagens foi o foco desse MS, que também apontou a frequência da utilização dessas abordagens ao longo dos anos, as vulnerabilidades e problemas alvos de verificação, as estratégias de validação empregadas e as principais limitações presentes nestes trabalhos.

Entre os 104 estudos selecionados, as abordagens de verificação mais utilizada, e que também foram as que mais prevaleceram ao longo dos anos foram as baseadas em execução simbólica, *model checking*, e análise estática. Foram classificados neste MS 25 problemas e vulnerabilidades alvos de verificação. Destes, nota-se que a Reentrância (V_{23}) foi a vulnerabilidade mais investigada pelos estudos, o que provavelmente deve-se ao fato desta ter sido a primeira a ser explorada, o que resultou no ataque ao contrato *The DAO* e mobilizou a comunidade em torno deste problema.

Uma forma mais genérica de verificar se a execução de um contrato é realizada conforme esperado é por meio da verificação da violação de propriedades (*VP*), as quais podem estar relacionadas com problemas de segurança, e também com o cumprimento de requisitos de projeto, funcionais, e lógicos. As propriedades são definidas especialmente para cada contrato, um trabalho manual que exige um alto nível de compreensão dos requisitos do contrato, assim como o conhecimento específico do formalismo ou linguagem de especificação utilizado. A violação de propriedades têm sido tratada principalmente pelas abordagens baseadas em *model checking* (em 15 estudos).

Outra questão analisada neste MS foram as estratégias da validação utilizada nos estudos (**QP 4**). Desta forma pôde-se observar desde estratégias simples e triviais como exemplos de aplicação e estudos de caso, até as mais robustas, compostas por vários procedimentos experimentais. Em muitos casos, a falta de uma validação mais completa e robusta fez que com não fosse possível concluir sobre questões como a eficiência e acurácia dos métodos propostos (como nos estudos #11, #15, #22, #23, #27, #58, #59, #60, #69, #70, #71, #75, #78, #82, #87, #95, #98, #100 e #103).

Ao longo dos resultados da **QP 5**, as abordagens foram classificadas em relação à abrangência da verificação e ao nível de automação da estratégia empregada, o que envolve não apenas a verificação em si, mas também procedimentos aplicados antes e após. Apenas no *model checking*, na demonstração de teoremas, e na verificação dedutiva os estudos foram em maioria aplicados apenas sobre um subconjunto da linguagem de programação de CIs considerada, o que indica necessidade de avanços nessa área para expandir a verificação sobre mais elementos dos CIs e abranger contratos mais complexos e variados. Também, nestas três abordagens, notou-se, na maior parte dos estudos, a aplicação de procedimentos manuais ao longo da estratégia de verificação. Entretanto, o fato de um método não ser totalmente automatizado não representa, necessariamente, uma desvantagem, pois depende do fim para o qual ele é proposto. Por exemplo, em muitos casos pode ser desejável que propriedades sejam definidas manualmente, pois cada

contrato possui requisitos específicos relacionados ao seu projeto e seu propósito.

De forma geral, ainda não há uma convergência ou consenso sobre qual método de verificação é o melhor, pois ainda é uma área de estudo recente, e várias abordagens mostram-se promissoras, tanto aquelas utilizadas a mais tempo quanto a mais recentes, como as baseadas em IA. Contudo, ainda há diversas limitações presentes, que servirão de motivação das pesquisas e avanços futuros nesta área.

3.2 Seleção dos fundamentos da proposta

A realização do MS descrito na Seção 3.1 constituiu a primeira das quatro tarefas de pesquisa descritas no início deste Capítulo, e serve de base para a execução das próximas, que são: 2. Seleção do método de verificação e detecção de vulnerabilidades adequado para a proposta; 3. Seleção das vulnerabilidades abordadas por meio da proposta; e 4. Definição da estratégia para validação da proposta.

O método de verificação escolhido foi o *model checking*, pois há diversos trabalhos na literatura que utilizam esta técnica para verificação de vulnerabilidades de reentrância e para detecção de violação de propriedades. Desta forma, pretende-se focar em vulnerabilidades já conhecidas e também permitir a análise de propriedades funcionais de cada contrato individualmente. Além disso, das abordagens mais utilizadas, o *model checking* apresenta a melhor precisão, com a ausência de falsos positivos e falsos negativos.

Das vulnerabilidades e problemas alvos desta pesquisa, além dos dois já citados, também pretende-se focar nas vulnerabilidades de contrato suicida (V_8), e *Delegatecall injection* (V_{13}). Estas duas foram exploradas nos ataques cometidos contra o contrato da *Parity Wallet*, citados na Seção 2.3.1. Enquanto a V_8 foi abordada em alguns trabalhos que empregam o *model checking* (FRANK; ASCHERMANN; HOLZ, 2020; NELATURU *et al.*, 2020), a V_{13} ainda não foi tratada por meio desta técnica, o que seria um avanço no estado da arte. Como estratégia de validação, pretende-se aplicar um experimento reduzido, com contratos cujas vulnerabilidades já são conhecidas, permitindo, assim, garantir o nível de acurácia do método. Além disso, uma avaliação empírica deve ser realizada para maior robustez sobre os resultados obtidos. Demais detalhes sobre o método proposto são descritos adiante no Capítulo ().

CRONOGRAMA DE ATIVIDADES

REFERÊNCIAS

AAVE: The liquidity protocol. Acesso em: 23 fev 2021. Disponível em: <https://aave.com/>. Citado na página 32.

ABDELLATIF, T.; BROUSMICHE, K.-L. Formal verification of smart contracts based on users and blockchain behaviors models. In: IEEE. **2018 9th IFIP International Conference on New Technologies, Mobility and Security (NTMS)**. [S.l.], 2018. p. 1–5. Citado na página 47.

AGUIAR, E. J. D.; FAIÇAL, B. S.; KRISHNAMACHARI, B.; UYEYAMA, J. A survey of blockchain-based strategies for healthcare. **ACM Computing Surveys (CSUR)**, ACM New York, NY, USA, v. 53, n. 2, p. 1–27, 2020. Citado nas páginas 11, 17 e 34.

AHMED, M.; ELAHI, I.; ABRAR, M.; ASLAM, U.; KHALID, I.; HABIB, M. A. Understanding blockchain: Platforms, applications and implementation challenges. In: **Proceedings of the 3rd International Conference on Future Networks and Distributed Systems**. New York, NY, USA: Association for Computing Machinery, 2019. (ICFNDS '19). ISBN 9781450371636. Disponível em: <https://doi.org/10.1145/3341325.3342033>. Citado nas páginas 20, 22 e 23.

AHRENDT, W.; BUBEL, R.; ELLUL, J.; PACE, G. J.; PARDO, R.; REBISCOUL, V.; SCHNEIDER, G. Verification of smart contract business logic. In: SPRINGER. **International Conference on Fundamentals of Software Engineering**. [S.l.], 2019. p. 228–243. Citado na página 47.

AKCA, S.; RAJAN, A.; PENG, C. Solanalyser: A framework for analysing and testing smart contracts. In: IEEE. **2019 26th Asia-Pacific Software Engineering Conference (APSEC)**. [S.l.], 2019. p. 482–489. Citado na página 47.

ALBERT, E.; CORREAS, J.; GORDILLO, P.; ROMÁN-DÍEZ, G.; RUBIO, A. Safevm: a safety verifier for ethereum smart contracts. In: **Proceedings of the 28th ACM SIGSOFT International Symposium on Software Testing and Analysis**. [S.l.: s.n.], 2019. p. 386–389. Citado na página 47.

_____. Don't run on fumes—parametric gas bounds for smart contracts. **Journal of Systems and Software**, Elsevier, v. 176, p. 110923, 2021. Citado na página 47.

ALMAKHOOR, M.; SLIMAN, L.; SAMHAT, A. E.; MELLOUK, A. Verification of smart contracts: A survey. **Pervasive and Mobile Computing**, Elsevier, p. 101227, 2020. Citado nas páginas 12, 13, 40 e 41.

ALT, L.; REITWIESSNER, C. Smt-based verification of solidity smart contracts. In: SPRINGER. **International Symposium on Leveraging Applications of Formal Methods**. [S.l.], 2018. p. 376–388. Citado na página 47.

AMANI, S.; BÉGEL, M.; BORTIN, M.; STAPLES, M. Towards verifying ethereum smart contract bytecode in isabelle/hol. In: **Proceedings of the 7th ACM SIGPLAN International Conference on Certified Programs and Proofs**. [S.l.: s.n.], 2018. p. 66–77. Citado na página 47.

ANDROULAKI, E.; BARGER, A.; BORTNIKOV, V.; CACHIN, C.; CHRISTIDIS, K.; CARO, A. D.; ENYEART, D.; FERRIS, C.; LAVENTMAN, G.; MANEVICH, Y.; MURALIDHARAN, S.; MURTHY, C.; NGUYEN, B.; SETHI, M.; SINGH, G.; SMITH, K.; SORNIOTTI, A.; STATHAKOPOULOU, C.; VUKOLIĆ, M.; COCCO, S. W.; YELICK, J. Hyperledger fabric: A distributed operating system for permissioned blockchains. In: **Proceedings of the Thirteenth EuroSys Conference**. New York, NY, USA: Association for Computing Machinery, 2018. (EuroSys '18). ISBN 9781450355841. Disponível em: <<https://doi.org/10.1145/3190508.3190538>>. Citado na página 20.

ANTONPOULOS, A. M. **Mastering Bitcoin: unlocking digital cryptocurrencies**. [S.l.]: "O'Reilly Media, Inc.", 2014. Citado na página 18.

ARGAÑARAZ, M.; BERÓN, M.; PEREIRA, M. J.; HENRIQUES, P. Detection of vulnerabilities in smart contracts specifications in ethereum platforms. In: SCHLOSS DAGSTUHL–LEIBNIZ-ZENTRUM FUER INFORMATIK. **9th Symposium on Languages, Applications and Technologies (SLATE 2020)**. [S.l.], 2020. v. 83, p. 1–16. Citado na página 47.

ASHOURI, M. Etherolic: a practical security analyzer for smart contracts. In: **Proceedings of the 35th Annual ACM Symposium on Applied Computing**. [S.l.: s.n.], 2020. p. 353–356. Citado na página 47.

ASHRAF, I.; MA, X.; JIANG, B.; CHAN, W. Gasfuzzer: Fuzzing ethereum smart contract binaries to expose gas-oriented exception security vulnerabilities. **IEEE Access**, IEEE, v. 8, p. 99552–99564, 2020. Citado na página 47.

ATZEI, N.; BARTOLETTI, M.; CIMOLI, T. A survey of attacks on ethereum smart contracts (sok). In: SPRINGER. **International conference on principles of security and trust**. [S.l.], 2017. p. 164–186. Citado nas páginas 12, 33 e 38.

ATZEI, N.; BARTOLETTI, M.; LANDE, S.; YOSHIDA, N.; ZUNINO, R. Developing secure bitcoin contracts with bitml. In: **Proceedings of the 2019 27th ACM Joint Meeting on European Software Engineering Conference and Symposium on the Foundations of Software Engineering**. [S.l.: s.n.], 2019. p. 1124–1128. Citado na página 47.

AZZOPARDI, S.; ELLUL, J.; PACE, G. J. Monitoring smart contracts: Contractlarva and open challenges beyond. In: SPRINGER. **International Conference on Runtime Verification**. [S.l.], 2018. p. 113–137. Citado na página 47.

BAI, X.; CHENG, Z.; DUAN, Z.; HU, K. Formal modeling and verification of smart contracts. In: **Proceedings of the 2018 7th International Conference on Software and Computer Applications**. [S.l.: s.n.], 2018. p. 322–326. Citado na página 47.

BEILLAHI, S. M.; CIOCARLIE, G.; EMMI, M.; ENEA, C. Behavioral simulation for smart contracts. In: **Proceedings of the 41st ACM SIGPLAN Conference on Programming Language Design and Implementation**. [S.l.: s.n.], 2020. p. 470–486. Citado na página 47.

BERTONI, G.; DAEMEN, J.; PEETERS, M.; ASSCHE, G. **The keccak SHA-3 submission. Submission to NIST (Round 3)**. 2011. Citado na página 16.

BHARGAVAN, K.; DELIGNAT-LAVAUD, A.; FOURNET, C.; GOLLAMUDI, A.; GONTHIER, G.; KOBEISSI, N.; KULATOVA, N.; RASTOGI, A.; SIBUT-PINOTE, T.; SWAMY, N. *et al.* Formal verification of smart contracts: Short paper. In: **Proceedings of the 2016 ACM**

workshop on programming languages and analysis for security. [S.l.: s.n.], 2016. p. 91–96. Citado na página 47.

BOURAGA, S. A taxonomy of blockchain consensus protocols: A survey and classification framework. **Expert Systems with Applications**, Elsevier Ltd, v. 168, 2021. Citado nas páginas 19 e 20.

BRENT, L.; GRECH, N.; LAGOUVARDOS, S.; SCHOLZ, B.; SMARAGDAKIS, Y. Ethainter: a smart contract security analyzer for composite vulnerabilities. In: **Proceedings of the 41st ACM SIGPLAN Conference on Programming Language Design and Implementation**. [S.l.: s.n.], 2020. p. 454–469. Citado na página 47.

BUTERIN, V. [S.l.], 2014. Acesso em: 29 jan. 2021. Disponível em: <<https://ethereum.org/en/whitepaper/>>. Citado nas páginas 11, 16, 19, 23, 24, 25 e 27.

CASCARILLA, C. **Pax Gold white paper**. 2019. Acesso em: 23 fev 2021. Disponível em: <<https://www.paxos.com/pax-gold-whitepaper>>. Citado na página 32.

CASTRO, M.; LISKOV, B. *et al.* Practical byzantine fault tolerance. In: **OSDI**. [S.l.: s.n.], 1999. v. 99, n. 1999, p. 173–186. Citado na página 20.

CHANG, J.; GAO, B.; XIAO, H.; SUN, J.; CAI, Y.; YANG, Z. scompile: Critical path identification and analysis for smart contracts. In: SPRINGER. **International Conference on Formal Engineering Methods**. [S.l.], 2019. p. 286–304. Citado na página 47.

CHATTERJEE, K.; GOHARSHADY, A. K.; VELNER, Y. Quantitative analysis of smart contracts. In: SPRINGER, CHAM. **European Symposium on Programming**. [S.l.], 2018. p. 739–767. Citado na página 47.

CHEN, H.; PENDLETON, M.; NJILLA, L.; XU, S. A survey on ethereum systems security: Vulnerabilities, attacks, and defenses. **ACM Comput. Surv.**, Association for Computing Machinery, New York, NY, USA, v. 53, n. 3, jun. 2020. ISSN 0360-0300. Disponível em: <<https://doi.org/10.1145/3391195>>. Citado nas páginas 12, 13, 25, 33, 34, 35, 38, 39 e 49.

CHEN, T.; FENG, Y.; LI, Z.; ZHOU, H.; LUO, X.; LI, X.; XIAO, X.; CHEN, J.; ZHANG, X. Gas-checker: Scalable analysis for discovering gas-inefficient smart contracts. **IEEE Transactions on Emerging Topics in Computing**, IEEE, 2020. Citado na página 47.

CHEN, T.; LI, Z.; ZHOU, H.; CHEN, J.; LUO, X.; LI, X.; ZHANG, X. Towards saving money in using smart contracts. In: IEEE. **2018 IEEE/ACM 40th International Conference on Software Engineering: New Ideas and Emerging Technologies Results (ICSE-NIER)**. [S.l.], 2018. p. 81–84. Citado na página 47.

CHEN, T.; LI, Z.; ZHU, Y.; CHEN, J.; LUO, X.; LUI, J. C.-S.; LIN, X.; ZHANG, X. Understanding ethereum via graph analysis. **ACM Transactions on Internet Technology**, Association for Computing Machinery, v. 20, n. 2, 2020. ISSN 15576051. Citado nas páginas 23 e 27.

CHINEN, Y.; YANAI, N.; CRUZ, J. P.; OKAMURA, S. Ra: Hunting for re-entrancy attacks in ethereum smart contracts via static analysis. In: IEEE. **2020 IEEE International Conference on Blockchain (Blockchain)**. [S.l.], 2020. p. 327–336. Citado na página 47.

Clarke Jr, E. M.; GRUMBERG, O.; KROENING, D.; PELED, D.; VEITH, H. **Model checking**. [S.l.]: MIT press, 2018. Citado na página 41.

COUSOT, P. Formal verification by abstract interpretation. In: SPRINGER. **NASA Formal Methods Symposium**. [S.l.], 2012. p. 3–7. Citado na página 41.

di Angelo, M.; Salzer, G. Tokens, types, and standards: Identification and utilization in ethereum. In: **2020 IEEE International Conference on Decentralized Applications and Infrastructures (DAPPS)**. [S.l.: s.n.], 2020. p. 1–10. Citado na página 32.

DIKA, A.; NOWOSTAWSKI, M. Security vulnerabilities in ethereum smart contracts. In: IEEE. **2018 IEEE International Conference on Internet of Things (iThings) and IEEE Green Computing and Communications (GreenCom) and IEEE Cyber, Physical and Social Computing (CPSCom) and IEEE Smart Data (SmartData)**. [S.l.], 2018. p. 955–962. Citado na página 12.

DING, Y.; WANG, C.; ZHONG, Q.; LI, H.; TAN, J.; LI, J. Function-level dynamic monitoring and analysis system for smart contract. **IEEE Access**, IEEE, 2020. Citado na página 47.

Dinh, T. T. A.; Liu, R.; Zhang, M.; Chen, G.; Ooi, B. C.; Wang, J. Untangling blockchain: A data processing view of blockchain systems. **IEEE Transactions on Knowledge and Data Engineering**, v. 30, n. 7, p. 1366–1385, 2018. Citado nas páginas 11, 17 e 20.

DRESCHER, D. **Blockchain basics: a non-technical introduction in 25 steps**. [S.l.]: Apress, 2017. Citado nas páginas 11, 16, 18, 19, 21, 22 e 23.

DU, S.; HUANG, H. A general framework of smart contract vulnerability mining based on control flow graph matching. In: SPRINGER. **International Conference on Artificial Intelligence and Security**. [S.l.], 2020. p. 166–175. Citado na página 47.

DUO, W.; XIN, H.; XIAOFENG, M. Formal analysis of smart contract based on colored petri nets. **IEEE Intelligent Systems**, IEEE, v. 35, n. 3, p. 19–30, 2020. Citado na página 47.

DWORKIN, M. J. Sha-3 standard: Permutation-based hash and extendable-output functions. 2015. Citado na página 16.

EKBLAW, A.; AZARIA, A.; HALAMKA, J. D.; LIPPMAN, A. A case study for blockchain in healthcare: “medrec” prototype for electronic health records and medical research data. In: **Proceedings of IEEE open & big data conference**. [S.l.: s.n.], 2016. v. 13, p. 13. Citado na página 34.

ETHEREUM Homestead Documentation. 2018. Acesso em: 20 fev. 2021. Disponível em: <<https://ethdocs.org/en/latest/>>. Citado nas páginas 25 e 26.

ETHERSCAN: The Ethereum Blockchain Explorer. 2021. Acesso em: 17 fev. 2021. Disponível em: <<https://etherscan.io/accounts>>. Citado nas páginas 30 e 31.

FAN, C.; GHAEMI, S.; KHAZAEI, H.; MUSILEK, P. Performance evaluation of blockchain systems: A systematic survey. **IEEE Access**, IEEE, v. 8, p. 126927–126950, 2020. Citado na página 11.

FEIST, J.; GRIECO, G.; GROCE, A. Slither: a static analysis framework for smart contracts. In: IEEE. **2019 IEEE/ACM 2nd International Workshop on Emerging Trends in Software Engineering for Blockchain (WETSEB)**. [S.l.], 2019. p. 8–15. Citado na página 47.

- FENG, Y.; TORLAK, E.; BODIK, R. Summary-based symbolic evaluation for smart contracts. In: IEEE. **2020 35th IEEE/ACM International Conference on Automated Software Engineering (ASE)**. [S.l.], 2020. p. 1141–1152. Citado na página 47.
- FRANK, J.; ASCHERMANN, C.; HOLZ, T. {ETHBMC}: A bounded model checker for smart contracts. In: **29th {USENIX} Security Symposium ({USENIX} Security 20)**. [S.l.: s.n.], 2020. p. 2757–2774. Citado nas páginas 47 e 61.
- FU, M.; WU, L.; HONG, Z.; ZHU, F.; SUN, H.; FENG, W. A critical-path-coverage-based vulnerability detection method for smart contracts. **IEEE Access**, IEEE, v. 7, p. 147327–147344, 2019. Citado na página 47.
- GAO, J.; LIU, H.; LIU, C.; LI, Q.; GUAN, Z.; CHEN, Z. Easyflow: Keep ethereum away from overflow. In: IEEE. **2019 IEEE/ACM 41st International Conference on Software Engineering: Companion Proceedings (ICSE-Companion)**. [S.l.], 2019. p. 23–26. Citado na página 47.
- GAO, Z.; JIANG, L.; XIA, X.; LO, D.; GRUNDY, J. Checking smart contracts with structural code embedding. **IEEE Transactions on Software Engineering**, IEEE, 2020. Citado na página 47.
- GRECH, N.; KONG, M.; JURISEVIC, A.; BRENT, L.; SCHOLZ, B.; SMARAGDAKIS, Y. Madmax: Surviving out-of-gas conditions in ethereum smart contracts. **Proceedings of the ACM on Programming Languages**, ACM New York, NY, USA, v. 2, n. OOPSLA, p. 1–27, 2018. Citado na página 47.
- HAJDU, Á.; JOVANOVIĆ, D. solc-verify: A modular verifier for solidity smart contracts. In: SPRINGER. **Working Conference on Verified Software: Theories, Tools, and Experiments**. [S.l.], 2019. p. 161–179. Citado na página 47.
- HAO, X.; REN, W.; ZHENG, W.; ZHU, T. Scscan: A svm-based scanning system for vulnerabilities in blockchain smart contracts. In: IEEE. **2020 IEEE 19th International Conference on Trust, Security and Privacy in Computing and Communications (TrustCom)**. [S.l.], 2020. p. 1598–1605. Citado na página 47.
- HE, X. Modeling and analyzing smart contracts using predicate transition nets. In: IEEE. **2020 IEEE 20th International Conference on Software Quality, Reliability and Security Companion (QRS-C)**. [S.l.], 2020. p. 108–115. Citado na página 47.
- HEWA, T.; YLIANTTILA, M.; LIYANAGE, M. Survey on blockchain based smart contracts: Applications, opportunities and challenges. **Journal of Network and Computer Applications**, v. 177, 2021. Citado na página 24.
- HIRAI, Y. Defining the ethereum virtual machine for interactive theorem provers. In: SPRINGER. **International Conference on Financial Cryptography and Data Security**. [S.l.], 2017. p. 520–535. Citado na página 47.
- HORTA, L. P. A. da; REIS, J. S.; SOUSA, S. M. de; PEREIRA, M. A tool for proving michelson smart contracts in why3. In: IEEE. **2020 IEEE International Conference on Blockchain (Blockchain)**. [S.l.], 2020. p. 409–414. Citado na página 47.
- HUANG, J.; HAN, S.; YOU, W.; SHI, W.; LIANG, B.; WU, J.; WU, Y. Hunting vulnerable smart contracts via graph embedding based bytecode matching. **IEEE Transactions on Information Forensics and Security**, IEEE, v. 16, p. 2144–2156, 2021. Citado na página 47.

JI, R.; HE, N.; WU, L.; WANG, H.; BAI, G.; GUO, Y. Deposafe: Demystifying the fake deposit vulnerability in ethereum smart contracts. **arXiv preprint arXiv:2006.06419**, 2020. Citado na página 47.

JIANG, B.; LIU, Y.; CHAN, W. Contractfuzzer: Fuzzing smart contracts for vulnerability detection. In: IEEE. **2018 33rd IEEE/ACM International Conference on Automated Software Engineering (ASE)**. [S.l.], 2018. p. 259–269. Citado na página 47.

JOHNSON, D.; MENEZES, A.; VANSTONE, S. The elliptic curve digital signature algorithm (ecdsa). **International journal of information security**, Springer, v. 1, n. 1, p. 36–63, 2001. Citado na página 26.

KANNENGIESSER, N.; LINS, S.; DEHLING, T.; SUNYAEV, A. Trade-offs between distributed ledger technology characteristics. **ACM Computing Surveys (CSUR)**, ACM New York, NY, USA, v. 53, n. 2, p. 1–37, 2020. Citado nas páginas 11 e 13.

KIM, K. B.; LEE, J. Automated generation of test cases for smart contract security analyzers. **IEEE Access**, IEEE, v. 8, p. 209377–209392, 2020. Citado nas páginas 13 e 49.

KING, J. C. Symbolic execution and program testing. **Communications of the ACM**, ACM New York, NY, USA, v. 19, n. 7, p. 385–394, 1976. Citado na página 41.

KING, S.; NADAL, S. Ppcoin: Peer-to-peer crypto-currency with proof-of-stake. 2012. Acesso em: 05 fev. 2021. Disponível em: <<https://www.peercoin.net/whitepapers/peercoin-paper.pdf>>. Citado na página 20.

KITCHENHAM, B.; CHARTERS, S. Guidelines for performing systematic literature reviews in software engineering - version 2.3. Citeseer, 2007. Citado nas páginas 43 e 44.

KLEES, G.; RUEF, A.; COOPER, B.; WEI, S.; HICKS, M. Evaluating fuzz testing. In: **Proceedings of the 2018 ACM SIGSAC Conference on Computer and Communications Security**. [S.l.: s.n.], 2018. p. 2123–2138. Citado na página 41.

KOBLITZ, N. Elliptic curve cryptosystems. **Mathematics of computation**, v. 48, n. 177, p. 203–209, 1987. Citado na página 21.

KOLLURI, A.; NIKOLIC, I.; SERGEY, I.; HOBOR, A.; SAXENA, P. Exploiting the laws of order in smart contracts. In: **Proceedings of the 28th ACM SIGSOFT International Symposium on Software Testing and Analysis**. [S.l.: s.n.], 2019. p. 363–373. Citado nas páginas 39 e 47.

KONGMANEE, J.; KIJSANAYOTHIN, P.; HEWETT, R. Securing smart contracts in blockchain. In: IEEE. **2019 34th IEEE/ACM International Conference on Automated Software Engineering Workshop (ASEW)**. [S.l.], 2019. p. 69–76. Citado na página 47.

KRUPP, J.; ROSSOW, C. tether: Gnawing at ethereum to automatically exploit smart contracts. In: **27th {USENIX} Security Symposium ({USENIX} Security 18)**. [S.l.: s.n.], 2018. p. 1317–1333. Citado na página 47.

LAHBIB, A.; WAKRIME, A. A.; LAOUITI, A.; TOUMI, K.; MARTIN, S. An event-b based approach for formal modelling and verification of smart contracts. In: SPRINGER. **International Conference on Advanced Information Networking and Applications**. [S.l.], 2020. p. 1303–1318. Citado na página 47.

- LAI, E.; LUO, W. Static analysis of integer overflow of smart contracts in ethereum. In: **Proceedings of the 2020 4th International Conference on Cryptography, Security and Privacy**. [S.l.: s.n.], 2020. p. 110–115. Citado na página 47.
- LI, A.; CHOI, J. A.; LONG, F. Securing smart contract with runtime validation. In: **Proceedings of the 41st ACM SIGPLAN Conference on Programming Language Design and Implementation**. [S.l.: s.n.], 2020. p. 438–453. Citado na página 47.
- LI, X.; SU, C.; XIONG, Y.; HUANG, W.; WANG, W. Formal verification of bnb smart contract. In: IEEE. **2019 5th International Conference on Big Data Computing and Communications (BIGCOM)**. [S.l.], 2019. p. 74–78. Citado na página 47.
- LI, Y.; LIU, H.; YANG, Z.; REN, Q.; WANG, L.; CHEN, B. Safepay on ethereum: A framework for detecting unfair payments in smart contracts. In: IEEE. **2020 IEEE 40th International Conference on Distributed Computing Systems (ICDCS)**. [S.l.], 2020. p. 1219–1222. Citado na página 47.
- LI, Z.; GUO, W.; XU, Q.; XU, Y.; WANG, H.; XIAN, M. Research on blockchain smart contracts vulnerability and a code audit tool based on matching rules. In: **Proceedings of the 2020 International Conference on Cyberspace Innovation of Advanced Technologies**. [S.l.: s.n.], 2020. p. 484–489. Citado na página 47.
- LIAO, J.-W.; TSAI, T.-T.; HE, C.-K.; TIEN, C.-W. Soliaudit: Smart contract vulnerability assessment based on machine learning and fuzz testing. In: IEEE. **2019 Sixth International Conference on Internet of Things: Systems, Management and Security (IOTSMS)**. [S.l.], 2019. p. 458–465. Citado na página 47.
- LIU, C.; LIU, H.; CAO, Z.; CHEN, Z.; CHEN, B.; ROSCOE, B. Reguard: finding reentrancy bugs in smart contracts. In: IEEE. **2018 IEEE/ACM 40th International Conference on Software Engineering: Companion (ICSE-Companion)**. [S.l.], 2018. p. 65–68. Citado na página 47.
- LIU, J.; LIU, Z. A survey on security verification of blockchain smart contracts. **IEEE Access**, IEEE, v. 7, p. 77894–77904, 2019. Citado nas páginas 12, 33 e 38.
- LIU, Y.; LI, Y.; LIN, S.-W.; ZHAO, R. Towards automated verification of smart contract fairness. In: **Proceedings of the 28th ACM Joint Meeting on European Software Engineering Conference and Symposium on the Foundations of Software Engineering**. [S.l.: s.n.], 2020. p. 666–677. Citado na página 47.
- LIU, Z.; LIU, J. Formal verification of blockchain smart contract based on colored petri net models. In: IEEE. **2019 IEEE 43rd Annual Computer Software and Applications Conference (COMPSAC)**. [S.l.], 2019. v. 2, p. 555–560. Citado na página 47.
- LU, N.; WANG, B.; ZHANG, Y.; SHI, W.; ESPOSITO, C. Neuchek: A more practical ethereum smart contract security analysis tool. **Software: Practice and Experience**, Wiley Online Library, 2019. Citado na página 47.
- LUU, L.; CHU, D.-H.; OLICKEL, H.; SAXENA, P.; HOBOR, A. Making smart contracts smarter. In: **Proceedings of the 2016 ACM SIGSAC conference on computer and communications security**. [S.l.: s.n.], 2016. p. 254–269. Citado na página 47.
- MADL, G.; BATHEN, L.; FLORES, G.; JADAV, D. Formal verification of smart contracts using interface automata. In: IEEE. **2019 IEEE International Conference on Blockchain (Blockchain)**. [S.l.], 2019. p. 556–563. Citado na página 47.

MAESA, D. D. F.; MORI, P. Blockchain 3.0 applications survey. **Journal of Parallel and Distributed Computing**, Elsevier, v. 138, p. 99–114, 2020. Citado nas páginas 11, 16, 30, 31 e 34.

MARESCOTTI, M.; BLICHA, M.; HYVÄRINEN, A. E.; ASADI, S.; SHARYGINA, N. Computing exact worst-case gas consumption for smart contracts. In: SPRINGER. **International Symposium on Leveraging Applications of Formal Methods**. [S.l.], 2018. p. 450–465. Citado na página 47.

MARESCOTTI, M.; OTONI, R.; ALT, L.; EUGSTER, P.; HYVÄRINEN, A. E.; SHARYGINA, N. Accurate smart contract verification through direct modelling. In: SPRINGER. **International Symposium on Leveraging Applications of Formal Methods**. [S.l.], 2020. p. 178–194. Citado na página 47.

MARION, J. **Contabilidade basica**. [S.l.]: Atlas, 1985. ISBN 9788547210236. Citado na página 16.

MAVRIDOU, A.; LASZKA, A. Tool demonstration: Fsolidm for designing secure ethereum smart contracts. In: SPRINGER. **International conference on principles of security and trust**. [S.l.], 2018. p. 270–277. Citado na página 47.

MAVRIDOU, A.; LASZKA, A.; STACHTIARI, E.; DUBEY, A. Verisolid: Correct-by-design smart contracts for ethereum. In: SPRINGER. **International Conference on Financial Cryptography and Data Security**. [S.l.], 2019. p. 446–465. Citado na página 47.

MAZIERES, D. The stellar consensus protocol: A federated model for internet-level consensus. **Stellar Development Foundation**, Citeseer, v. 32, 2015. Disponível em: <<https://www.stellar.org/papers/stellar-consensus-protocol>>. Citado na página 20.

MCGHIN, T.; CHOO, K.-K. R.; LIU, C. Z.; HE, D. Blockchain in healthcare applications: Research challenges and opportunities. **Journal of Network and Computer Applications**, Elsevier, v. 135, p. 62–75, 2019. Citado na página 34.

MOMENI, P.; WANG, Y.; SAMAVI, R. Machine learning model for smart contracts security analysis. In: IEEE. **2019 17th International Conference on Privacy, Security and Trust (PST)**. [S.l.], 2019. p. 1–6. Citado na página 47.

Monrat, A. A.; Schelén, O.; Andersson, K. A survey of blockchain from the perspectives of applications, challenges, and opportunities. **IEEE Access**, v. 7, p. 117134–117151, 2019. Citado nas páginas 15, 21 e 32.

MOSS: MCO2 token. Acesso em: 23 fev 2021. Disponível em: <v.fastcdn.co/u/f3b4407f/54475626-0-Moss-white-paper-eng.pdf>. Citado na página 32.

MOSSBERG, M.; MANZANO, F.; HENNENFENT, E.; GROCE, A.; GRIECO, G.; FEIST, J.; BRUNSON, T.; DINABURG, A. Manticore: A user-friendly symbolic execution framework for binaries and smart contracts. In: IEEE. **2019 34th IEEE/ACM International Conference on Automated Software Engineering (ASE)**. [S.l.], 2019. p. 1186–1189. Citado na página 47.

NAKAGAWA, E. Y.; SCANNAVINO, K. R. F.; FABBRI, S. C. P. F.; FERRARI, F. C. Revisão sistemática da literatura em engenharia de software: teoria e prática. Elsevier Brasil, 2017. Citado nas páginas 43, 44 e 45.

- NAKAMOTO, S. **Bitcoin: A peer-to-peer electronic cash system**. [S.l.], 2008. Acesso em: 29 jan. 2021. Disponível em: <<https://bitcoin.org/bitcoin.pdf>>. Citado nas páginas 11, 15, 16, 18, 19 e 21.
- NEHAÏ, Z.; BOBOT, F. Deductive proof of industrial smart contracts using why3. In: SPRINGER. **International Symposium on Formal Methods**. [S.l.], 2019. p. 299–311. Citado na página 47.
- NEHAI, Z.; PIRIOU, P.-Y.; DAUMAS, F. Model-checking of smart contracts. In: IEEE. **2018 IEEE International Conference on Internet of Things (iThings) and IEEE Green Computing and Communications (GreenCom) and IEEE Cyber, Physical and Social Computing (CPSCom) and IEEE Smart Data (SmartData)**. [S.l.], 2018. p. 980–987. Citado na página 47.
- NELATURU, K.; MAVRIDOUL, A.; VENERIS, A.; LASZKA, A. Verified development and deployment of multiple interacting smart contracts with verisolid. In: IEEE. **2020 IEEE International Conference on Blockchain and Cryptocurrency (ICBC)**. [S.l.], 2020. p. 1–9. Citado nas páginas 47 e 61.
- NIKOLIĆ, I.; KOLLURI, A.; SERGEY, I.; SAXENA, P.; HOBOR, A. Finding the greedy, prodigal, and suicidal contracts at scale. In: **Proceedings of the 34th Annual Computer Security Applications Conference**. [S.l.: s.n.], 2018. p. 653–663. Citado na página 47.
- OAPOS;DWYER, K. Bitcoin mining and its energy footprint. **IET Conference Proceedings**, Institution of Engineering and Technology, p. 280–285(5), January 2014. Citado na página 20.
- OSTERLAND, T.; ROSE, T. Model checking smart contracts for ethereum. **Pervasive and Mobile Computing**, Elsevier, v. 63, p. 101129, 2020. Citado na página 47.
- PARK, D.; ZHANG, Y.; SAXENA, M.; DAIAN, P.; ROȘU, G. A formal verification tool for ethereum vm bytecode. In: **Proceedings of the 2018 26th ACM Joint Meeting on European Software Engineering Conference and Symposium on the Foundations of Software Engineering**. [S.l.: s.n.], 2018. p. 912–915. Citado na página 47.
- PENG, C.; AKCA, S.; RAJAN, A. Sif: A framework for solidity contract instrumentation and analysis. In: IEEE. **2019 26th Asia-Pacific Software Engineering Conference (APSEC)**. [S.l.], 2019. p. 466–473. Citado na página 47.
- PERMENEV, A.; DIMITROV, D.; TSANKOV, P.; DRACHSLER-COHEN, D.; VECHEV, M. Verx: Safety verification of smart contracts. In: IEEE. **2020 IEEE Symposium on Security and Privacy (SP)**. [S.l.], 2020. p. 1661–1677. Citado na página 47.
- PETERSEN, K.; FELDT, R.; MUJTABA, S.; MATTSSON, M. Systematic mapping studies in software engineering. In: **12th International Conference on Evaluation and Assessment in Software Engineering (EASE) 12**. [S.l.: s.n.], 2008. p. 1–10. Citado na página 48.
- PRECHTEL, D.; GROSS, T.; MÜLLER, T. Evaluating spread of ‘gasless send’ in ethereum smart contracts. In: IEEE. **2019 10th IFIP International Conference on New Technologies, Mobility and Security (NTMS)**. [S.l.], 2019. p. 1–6. Citado na página 47.
- QIAN, P.; LIU, Z.; HE, Q.; ZIMMERMANN, R.; WANG, X. Towards automated reentrancy detection for smart contracts based on sequential models. **IEEE Access**, IEEE, v. 8, p. 19685–19695, 2020. Citado na página 47.

- QU, M.; HUANG, X.; CHEN, X.; WANG, Y.; MA, X.; LIU, D. Formal verification of smart contracts from the perspective of concurrency. In: SPRINGER. **International Conference on Smart Blockchain**. [S.l.], 2018. p. 32–43. Citado na página 47.
- Salah, K.; Rehman, M. H. U.; Nizamuddin, N.; Al-Fuqaha, A. Blockchain for ai: Review and open research challenges. **IEEE Access**, v. 7, p. 10127–10149, 2019. Citado na página 11.
- SAMREEN, N. F.; ALALFI, M. H. Reentrancy vulnerability identification in ethereum smart contracts. In: IEEE. **2020 IEEE International Workshop on Blockchain Oriented Software Engineering (IWBOSE)**. [S.l.], 2020. p. 22–29. Citado na página 47.
- Sankar, L. S.; Sindhu, M.; Sethumadhavan, M. Survey of consensus protocols on blockchain applications. In: **2017 4th International Conference on Advanced Computing and Communication Systems (ICACCS)**. [S.l.: s.n.], 2017. p. 1–5. Citado na página 19.
- SAYEED, S.; MARCO-GISBERT, H.; CAIRA, T. Smart contract: Attacks and protections. **IEEE Access**, IEEE, v. 8, p. 24416–24427, 2020. Citado nas páginas 12 e 39.
- SCHNEIDEWIND, C.; GRISHCHENKO, I.; SCHERER, M.; MAFFEI, M. ethor: Practical and provably sound static analysis of ethereum smart contracts. In: **Proceedings of the 2020 ACM SIGSAC Conference on Computer and Communications Security**. [S.l.: s.n.], 2020. p. 621–640. Citado na página 47.
- SCHWARTZ, D.; YOUNGS, N.; BRITTO, A. *et al.* The ripple protocol consensus algorithm. **Ripple Labs Inc White Paper**, v. 5, n. 8, p. 151, 2014. Disponível em: <<https://cryptoguide.ch/cryptocurrency/ripple/whitepaper.pdf>>. Citado na página 20.
- SHISHKIN, E. Debugging smart contract’s business logic using symbolic model checking. **Programming and Computer Software**, Springer, v. 45, n. 8, p. 590–599, 2019. Citado na página 47.
- SIEGEL, D. **Understanding The DAO Attack**. 2020. Acesso em: 24 fev. 2021. Disponível em: <<https://www.coindesk.com/understanding-dao-hack-journalists>>. Citado nas páginas 12, 33, 38 e 39.
- SINGH, A.; PARIZI, R. M.; ZHANG, Q.; CHOO, K.-K. R.; DEGHANTANHA, A. Blockchain smart contracts formalization: Approaches and challenges to address vulnerabilities. **Computers & Security**, Elsevier, v. 88, p. 101654, 2020. Citado nas páginas 12, 13, 38 e 41.
- SO, S.; LEE, M.; PARK, J.; LEE, H.; OH, H. Verismart: A highly precise safety verifier for ethereum smart contracts. In: IEEE. **2020 IEEE Symposium on Security and Privacy (SP)**. [S.l.], 2020. p. 1678–1694. Citado na página 47.
- SOLIDITY documentation. [S.l.]. Acesso em: 16 fev. 2021. Disponível em: <<https://readthedocs.org/projects/solidity/>>. Citado na página 35.
- SOLIDITY version 0.5.9 documentation. 2019. Acesso em: 02 mar. 2021. Disponível em: <<https://docs.soliditylang.org/en/v0.5.9/>>. Citado na página 36.
- SOLIDITY version 0.7.4 documentation. 2020. Acesso em: 21 fev. 2021. Disponível em: <<https://docs.soliditylang.org/en/v0.7.4/index.html>>. Citado na página 29.

- SOMPOLINSKY, Y.; ZOHAR, A. Secure high-rate transaction processing in bitcoin. In: SPRINGER. **International Conference on Financial Cryptography and Data Security**. [S.l.], 2015. p. 507–527. Citado nas páginas 21 e 30.
- SUN, T.; YU, W. A formal verification framework for security issues of blockchain smart contracts. **Electronics**, Multidisciplinary Digital Publishing Institute, v. 9, n. 2, p. 255, 2020. Citado na página 47.
- SUN, Y.; GU, L. Attention-based machine learning model for smart contract vulnerability detection. In: IOP PUBLISHING. **Journal of Physics: Conference Series**. [S.l.], 2021. v. 1820, n. 1, p. 012004. Citado na página 47.
- SWAN, M. **Blockchain: Blueprint for a New Economy**. [S.l.]: O'Reilly Media, 2015. ISBN 9781491920473. Citado nas páginas 11, 15, 18 e 30.
- SZABO, N. Formalizing and securing relationships on public networks. **First Monday**, v. 2, n. 9, Sep. 1997. Disponível em: <<https://journals.uic.edu/ojs/index.php/fm/article/view/548>>. Citado na página 35.
- TIAN, Z. Smart contract defect detection based on parallel symbolic execution. In: IEEE. **2019 3rd International Conference on Circuits, System and Simulation (ICCSS)**. [S.l.], 2019. p. 127–132. Citado na página 47.
- TIKHOMIROV, S.; VOSKRESENSKAYA, E.; IVANITSKIY, I.; TAKHAVIEV, R.; MARCHENKO, E.; ALEXANDROV, Y. Smartcheck: Static analysis of ethereum smart contracts. In: **Proceedings of the 1st International Workshop on Emerging Trends in Software Engineering for Blockchain**. [S.l.: s.n.], 2018. p. 9–16. Citado na página 47.
- TORRES, C. F.; BADEN, M.; NORVILL, R.; PONTIVEROS, B. B. F.; JONKER, H.; MAUW, S. Ægis: Shielding vulnerable smart contracts against attacks. In: **Proceedings of the 15th ACM Asia Conference on Computer and Communications Security**. [S.l.: s.n.], 2020. p. 584–597. Citado na página 47.
- TORRES, C. F.; SCHÜTTE, J.; STATE, R. Osiris: Hunting for integer bugs in ethereum smart contracts. In: **Proceedings of the 34th Annual Computer Security Applications Conference**. [S.l.: s.n.], 2018. p. 664–676. Citado na página 47.
- TORRES, C. F.; STEICHEN, M. *et al.* The art of the scam: Demystifying honeypots in ethereum smart contracts. In: **28th {USENIX} Security Symposium ({USENIX} Security 19)**. [S.l.: s.n.], 2019. p. 1591–1607. Citado na página 47.
- TSANKOV, P.; DAN, A.; DRACHSLER-COHEN, D.; GERVAIS, A.; BUENZLI, F.; VECHEV, M. Securify: Practical security analysis of smart contracts. In: **Proceedings of the 2018 ACM SIGSAC Conference on Computer and Communications Security**. [S.l.: s.n.], 2018. p. 67–82. Citado na página 47.
- VACCA, A.; SORBO, A. D.; VISAGGIO, C. A.; CANFORA, G. A systematic literature review of blockchain and smart contract development: Techniques, tools, and open challenges. **Journal of Systems and Software**, Elsevier, p. 110891, 2020. Citado na página 12.
- VARELA-VACA, Á. J.; QUINTERO, A. M. R. Smart contract languages: A multivocal mapping study. **ACM Computing Surveys (CSUR)**, ACM New York, NY, USA, v. 54, n. 1, p. 1–38, 2021. Citado na página 12.

WANG, A.; WANG, H.; JIANG, B.; CHAN, W. Artemis: An improved smart contract verification tool for vulnerability detection. In: IEEE. **2020 7th International Conference on Dependable Systems and Their Applications (DSA)**. [S.l.], 2020. p. 173–181. Citado na página 47.

WANG, H.; LIU, Y.; LI, Y.; LIN, S.-W.; ARTHO, C.; MA, L.; LIU, Y. Oracle-supported dynamic exploit generation for smart contracts. **IEEE Transactions on Dependable and Secure Computing**, IEEE, 2020. Citado na página 47.

Wang, S.; Ding, W.; Li, J.; Yuan, Y.; Ouyang, L.; Wang, F. Decentralized autonomous organizations: Concept, model, and applications. **IEEE Transactions on Computational Social Systems**, v. 6, n. 5, p. 870–878, 2019. Citado na página 33.

WANG, S.; ZHANG, C.; SU, Z. Detecting nondeterministic payment bugs in ethereum smart contracts. **Proceedings of the ACM on Programming Languages**, ACM New York, NY, USA, v. 3, n. OOPSLA, p. 1–29, 2019. Citado nas páginas 39 e 47.

WANG, W.; SONG, J.; XU, G.; LI, Y.; WANG, H.; SU, C. Contractward: Automated vulnerability detection models for ethereum smart contracts. **IEEE Transactions on Network Science and Engineering**, IEEE, 2020. Citado na página 47.

WANG, X.; HE, J.; XIE, Z.; ZHAO, G.; CHEUNG, S.-C. Contractguard: Defend ethereum smart contracts with embedded intrusion detection. **IEEE Transactions on Services Computing**, IEEE, v. 13, n. 2, p. 314–328, 2019. Citado nas páginas 38 e 47.

WANG, X.; YANG, X.; LI, C. A formal verification method for smart contract. In: IEEE. **2020 7th International Conference on Dependable Systems and Their Applications (DSA)**. [S.l.], 2020. p. 31–36. Citado na página 47.

WANG, Y.; LAHIRI, S. K.; CHEN, S.; PAN, R.; DILLIG, I.; BORN, C.; NASEER, I.; FERLES, K. Formal verification of workflow policies for smart contracts in azure blockchain. In: SPRINGER. **Working Conference on Verified Software: Theories, Tools, and Experiments**. [S.l.], 2019. p. 87–106. Citado na página 47.

WEISS, K.; SCHÜTTE, J. Annotary: A concolic execution system for developing secure smart contracts. In: SPRINGER. **European Symposium on Research in Computer Security**. [S.l.], 2019. p. 747–766. Citado na página 47.

WHO. **Substandard and Falsified Medical Products**. 2017. Acesso em: 25 fev. 2021. Disponível em: <<https://www.who.int/news-room/fact-sheets/detail/substandard-and-falsified-medical-products>>. Citado na página 34.

WOOD, G. *et al.* Ethereum: A secure decentralised generalised transaction ledger. **Ethereum project yellow paper**, v. 151, n. 2014, p. 1–32, 2014. Citado nas páginas 23, 25, 26, 27 e 30.

WÜSTHOLZ, V.; CHRISTAKIS, M. Harvey: A greybox fuzzer for smart contracts. In: **Proceedings of the 28th ACM Joint Meeting on European Software Engineering Conference and Symposium on the Foundations of Software Engineering**. [S.l.: s.n.], 2020. p. 1398–1409. Citado na página 47.

Xiao, Y.; Zhang, N.; Lou, W.; Hou, Y. T. A survey of distributed consensus protocols for blockchain networks. **IEEE Communications Surveys Tutorials**, v. 22, n. 2, p. 1432–1465, 2020. Citado nas páginas 19 e 20.

XING, C.; CHEN, Z.; CHEN, L.; GUO, X.; ZHENG, Z.; LI, J. A new scheme of vulnerability analysis in smart contract with machine learning. **Wireless Networks**, Springer, p. 1–10, 2020. Citado na página 47.

XUE, Y.; MA, M.; LIN, Y.; SUI, Y.; YE, J.; PENG, T. Cross-contract static analysis for detecting practical reentrancy vulnerabilities in smart contracts. In: IEEE. **2020 35th IEEE/ACM International Conference on Automated Software Engineering (ASE)**. [S.l.], 2020. p. 1029–1040. Citado na página 47.

YAMASHITA, K.; NOMURA, Y.; ZHOU, E.; PI, B.; JUN, S. Potential risks of hyperledger fabric smart contracts. In: IEEE. **2019 IEEE International Workshop on Blockchain Oriented Software Engineering (IWBOSE)**. [S.l.], 2019. p. 1–10. Citado na página 47.

YANG, Z.; LEI, H. Fether: An extensible definitional interpreter for smart-contract verifications in coq. **IEEE Access**, IEEE, v. 7, p. 37770–37791, 2019. Citado na página 47.

YANG, Z.; LEI, H.; QIAN, W. A hybrid formal verification system in coq for ensuring the reliability and security of ethereum-based service smart contracts. **IEEE Access**, IEEE, v. 8, p. 21411–21436, 2020. Citado na página 47.

YU, X. L.; AL-BATAINEH, O.; LO, D.; ROYCHOUDHURY, A. Smart contract repair. **ACM Transactions on Software Engineering and Methodology (TOSEM)**, ACM New York, NY, USA, v. 29, n. 4, p. 1–32, 2020. Citado na página 47.

ZHANG, Q.; WANG, Y.; LI, J.; MA, S. Ethploit: From fuzzing to efficient exploit generation against smart contracts. In: IEEE. **2020 IEEE 27th International Conference on Software Analysis, Evolution and Reengineering (SANER)**. [S.l.], 2020. p. 116–126. Citado na página 47.

ZHANG, R.; XUE, R.; LIU, L. Security and privacy on blockchain. **ACM Comput. Surv.**, Association for Computing Machinery, New York, NY, USA, v. 52, n. 3, jul. 2019. ISSN 0360-0300. Disponível em: <<https://doi.org/10.1145/3316481>>. Citado na página 11.

ZHANG, S.; LEE, J.-H. Analysis of the main consensus protocols of blockchain. **ICT express**, Elsevier, v. 6, n. 2, p. 93–97, 2020. Citado nas páginas 19 e 20.

ZHANG, W.; BANESCU, S.; PASOS, L.; STEWART, S.; GANESH, V. Mpro: Combining static and symbolic analysis for scalable testing of smart contract. In: IEEE. **2019 IEEE 30th International Symposium on Software Reliability Engineering (ISSRE)**. [S.l.], 2019. p. 456–462. Citado na página 47.

ZHANG, Y.; MA, S.; LI, J.; LI, K.; NEPAL, S.; GU, D. Smartshield: Automatic smart contract protection made easy. In: IEEE. **2020 IEEE 27th International Conference on Software Analysis, Evolution and Reengineering (SANER)**. [S.l.], 2020. p. 23–34. Citado na página 47.

ZHENG, Z.; XIE, S.; DAI, H.-N.; CHEN, W.; CHEN, X.; WENG, J.; IMRAN, M. An overview on smart contracts: Challenges, advances and platforms. **Future Generation Computer Systems**, v. 105, p. 475–491, 2020. ISSN 0167-739X. Citado nas páginas 11, 35, 36 e 37.

ZHOU, E.; HUA, S.; PI, B.; SUN, J.; NOMURA, Y.; YAMASHITA, K.; KURIHARA, H. Security assurance for smart contract. In: IEEE. **2018 9th IFIP International Conference on New Technologies, Mobility and Security (NTMS)**. [S.l.], 2018. p. 1–5. Citado na página 47.

ZHU, Q.; LOKE, S. W.; TRUJILLO-RASUA, R.; JIANG, F.; XIANG, Y. Applications of distributed ledger technologies to the internet of things: A survey. **ACM computing surveys (CSUR)**, ACM New York, NY, USA, v. 52, n. 6, p. 1–34, 2019. Citado na página [11](#).

ZHUANG, Y.; LIU, Z.; QIAN, P.; LIU, Q.; WANG, X.; HE, Q. Smart contract vulnerability detection using graph neural networks. Citado na página [47](#).

